

Computergrafik 2: Segmentierung

Prof. Dr. Michael Rohs, Dipl.-Inform. Sven Kratz

michael.rohs@ifi.lmu.de

MHCI Lab, LMU München

Folien teilweise von Andreas Butz, sowie von Klaus D. Tönnies
(Grundlagen der Bildverarbeitung. Pearson Studium, 2005.)

Vorlesungen

Datum	Thema
24.4.	Einführung, Organisatorisches (Übungen, Klausur)
1.5./8.5.	keine Vorlesungen (wegen 1. Mai und CHI-Konferenz)
15.5.	Abtastung von Bildern, Punktbasierte Verfahren der Bildverbesserung
22.5.	Licht, Farbe, Farbmanagement
30.5.	Konvolution, Filterung im Ortsraum (Verschiebung wegen Pfingstdienstag)
5.6.	Fouriertransformation: Grundlagen
12.6.	Filterung im Frequenzraum
19.6.	Kanten, Linien, Ecken
27.6.	Segmentierung
3.7.	Segmentierung, Morphologische Operationen
10.7.	Klassifikation
17.7.	Image Matching
24.7.	Klausur (Hörsaal M 018 im Hauptgebäude, 14-16 Uhr)

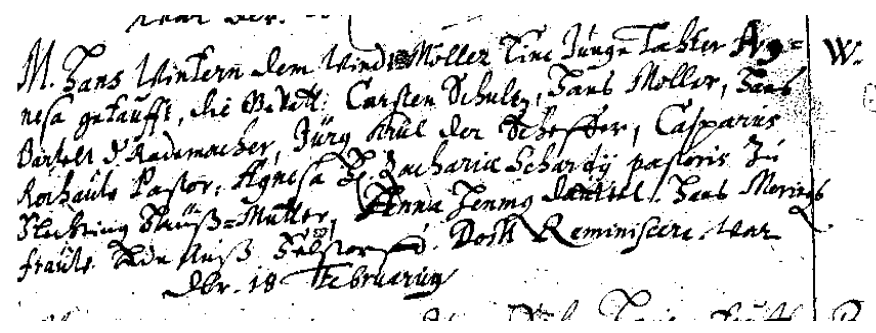
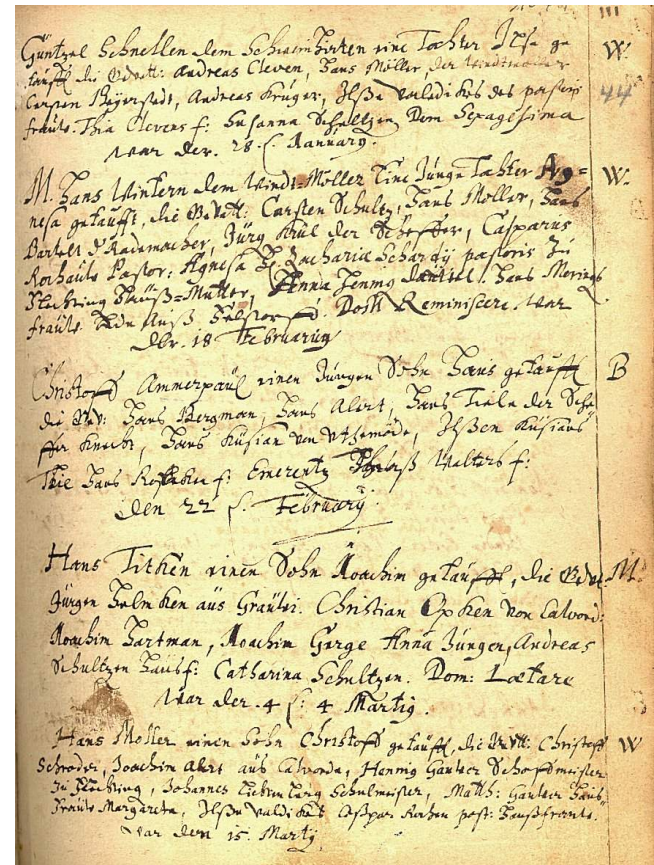
Themen heute

- Histogrammbasierte Segmentierung
 - optimaler Schwellenwert: Algorithmus von Otsu
 - Variable Schwellenwerte
 - Region labeling, flood fill
- Regionenbasierte Segmentierung
 - Region Merging, Split & Merge
 - Texturesegmentierung
- Kantenbasierte Segmentierung
 - Wasserscheidentransformation
 - Verbesserung der Wasserscheidentransformation durch Marker
- Modellbasierte Segmentierung
 - Region Growing
 - Kantenverfolgung

SEGMENTIERUNG

Segmentierung

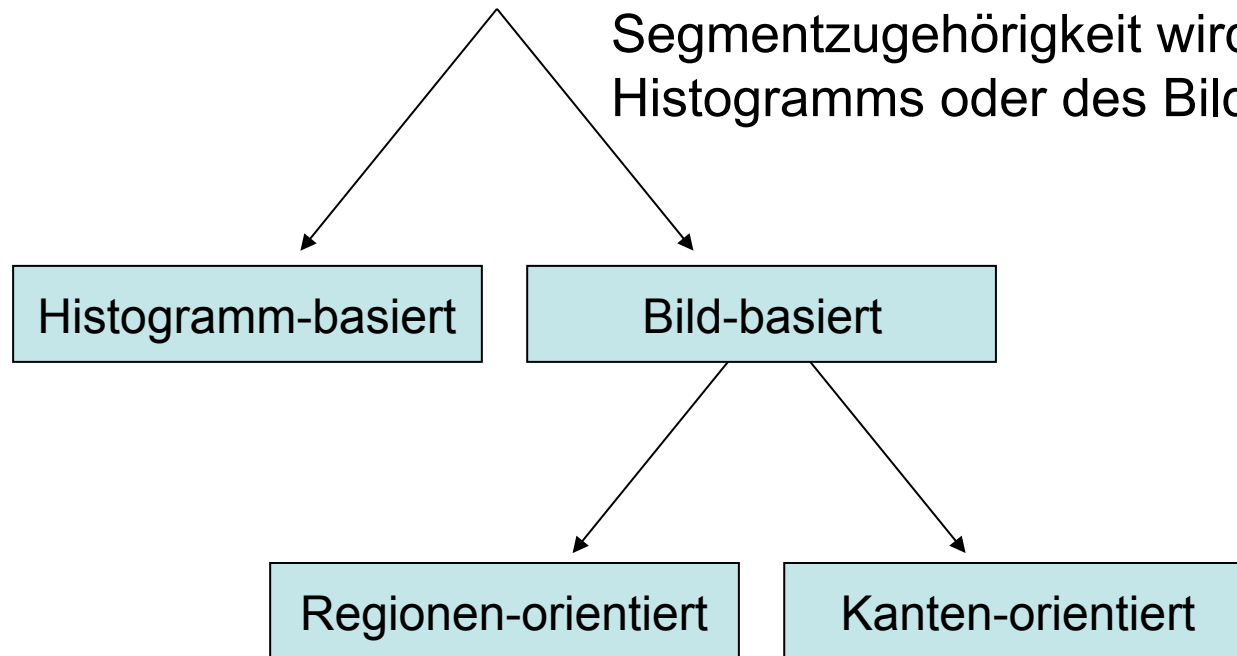
- Zerlegung eines Bildes in semantische Einheiten
- **Segmente:** Träger von Bedeutung der Strukturen eines Bildes
- Eigenschaften
 - **vollständig:** jedes Pixel ist einem Segment zugeordnet
 - **überdeckungsfrei:** ein Pixel ist höchstens einem Segment zugeordnet
 - **zusammenhängend:** jedes Segment bildet ein zusammenhängendes Gebiet



Segmentierungsmethoden

Histogramm-basierte oder
Bild-basierte Segmentierung:

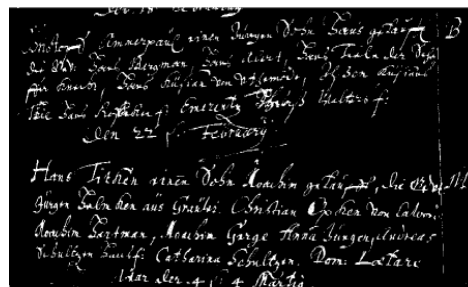
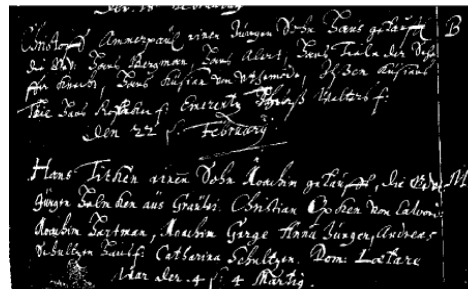
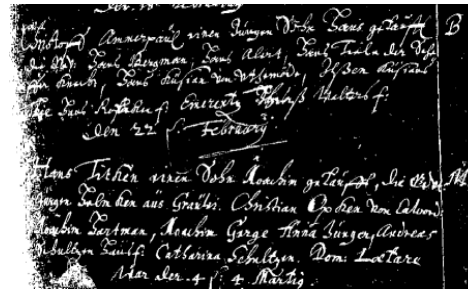
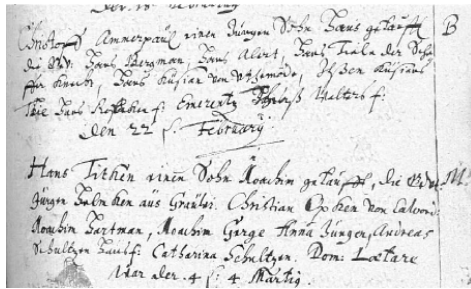
Segmentzugehörigkeit wird anhand des
Histogramms oder des Bildes entschieden



Regionen- oder Kantenorientierung:

Segmente werden durch ihr Inneres
oder ihre Grenzen definiert

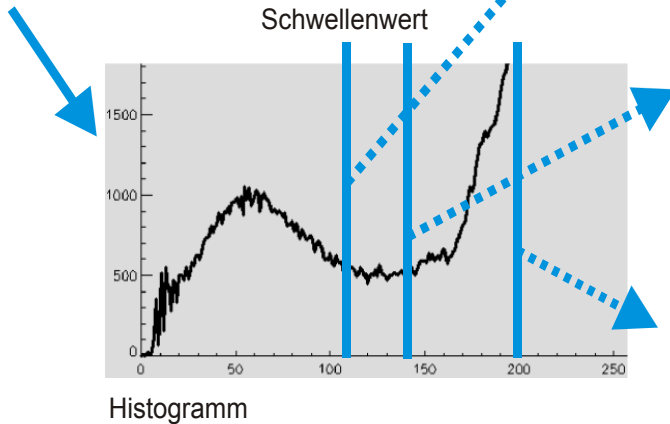
Histogrammbasierte Segmentierung



Annahme: Bild besteht aus zwei Anteilen (Vordergrund, Hintergrund) die sich durch Grauwert unterscheiden

Aufgabe: Schwellenwert zwischen Vorder- und Hintergrund finden

$$b(x,y) = \begin{cases} 0 & \text{falls } f(x,y) > T \\ 1 & \text{sonst} \end{cases}$$



Optimaler globaler Schwellenwert: Das Verfahren von Otsu

- Bilde Klassen C_1 (dunkle Pixel) und C_2 (helle Pixel)
- Optimaler Schwellenwert k^* maximiert der Varianz zwischen den Klassen

- Annahmen über Bild:

- $M \times N$ Pixel

- Grauwertstufen $\{0, 1, 2, \dots, L-1\}$

- n_i Pixel mit Grauwert i (also $MN = n_0 + n_1 + \dots + n_{L-1}$)

- Normalisiertes Histogramm: $p_i = \frac{n_i}{MN}$, $\sum_{i=0}^{L-1} p_i = 1$, $p_i \geq 0$

Optimaler globaler Schwellenwert: Das Verfahren von Otsu

- Schwellenwert k zur Segmentierung in Klassen C_1 und C_2 so dass Pixel mit Grauwerten $[0,k]$ in C_1 und $[k+1,L-1]$ in C_2
- $P_1(k)$: Wahrscheinlichkeit, dass Pixel in C_1 :

$$P_1(k) = \sum_{i=0}^k p_i \quad P_2(k) = \sum_{i=k+1}^{L-1} p_i = 1 - P_1(k)$$

- Durchschnittlicher Grauwert in C_1 : $m_1(k) = \frac{1}{P_1(k)} \sum_{i=0}^k i \cdot p_i$
- Durchschnittlicher Grauwert in C_2 : $m_2(k) = \frac{1}{P_2(k)} \sum_{i=k+1}^{L-1} i \cdot p_i$
- Durchschnittlicher Grauwert des Bildes: $m_G = \sum_{i=0}^{L-1} i \cdot p_i$

Optimaler globaler Schwellenwert: Das Verfahren von Otsu

- Güte des Schwellenwerts k : $\eta(k) = \frac{\sigma_B^2(k)}{\sigma_G^2}$

- σ_B^2 ist Varianz zwischen C_1 und C_2 :

$$\sigma_B^2(k) = P_1(k) \cdot (m_1(k) - m_G)^2 + P_2(k) \cdot (m_2(k) - m_G)^2$$

- σ_G^2 ist globale Varianz der Pixelgrauwerte:

$$\sigma_G^2(k) = \sum_{i=0}^{L-1} p_i \cdot (i - m_G)^2$$

- optimaler Schwellenwert:

$$k^* = \arg \max_{0 \leq k \leq L-1} \sigma_B^2(k)$$

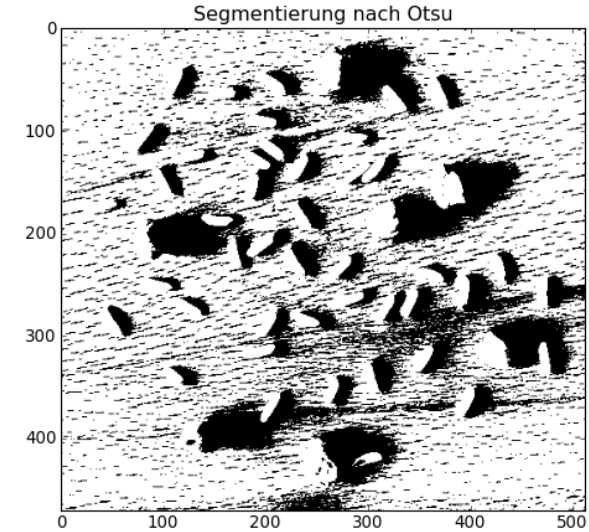
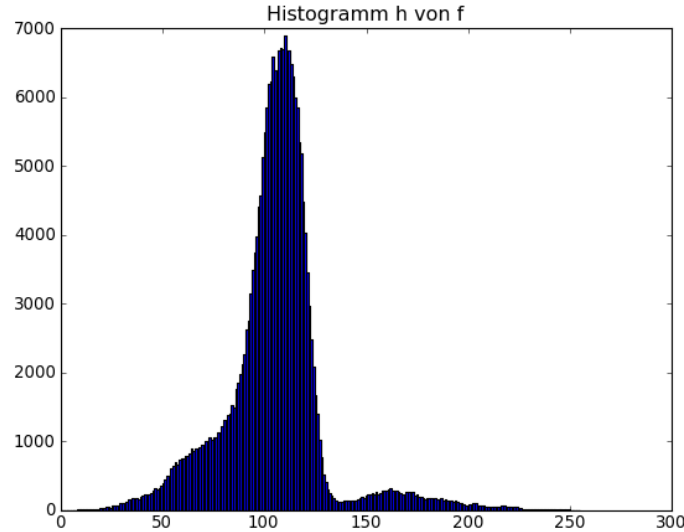
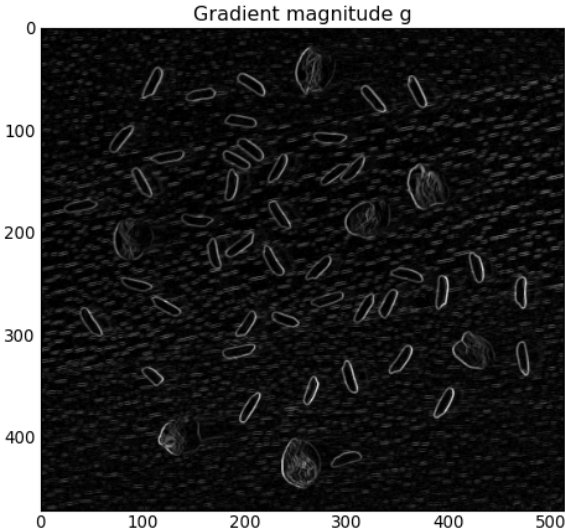
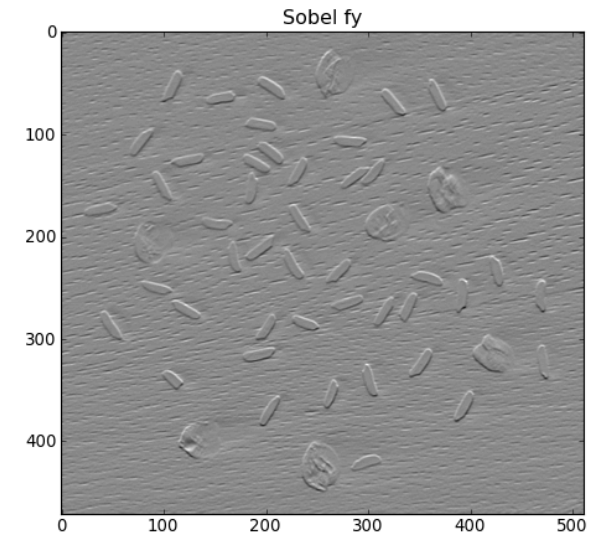
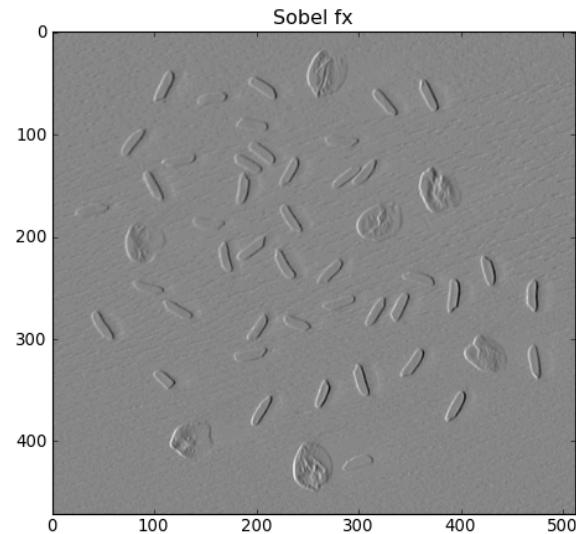
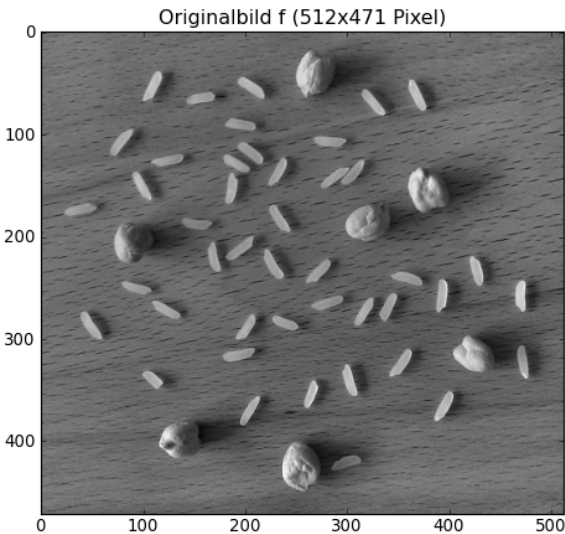
- Segmentierung:

$$g(x, y) = \begin{cases} 1 & \text{falls } f(x, y) > k^* \\ 0 & \text{sonst} \end{cases}$$

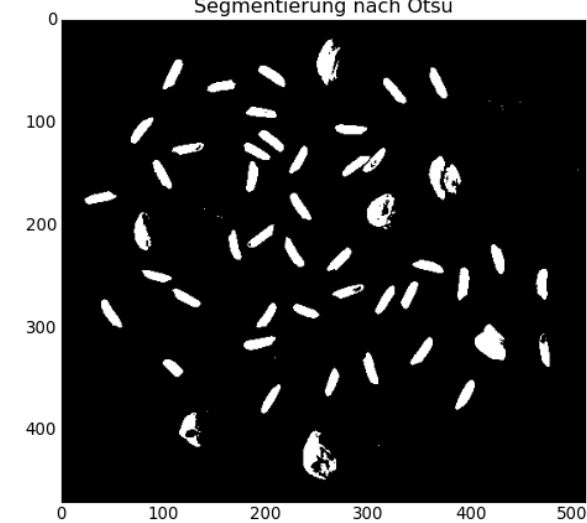
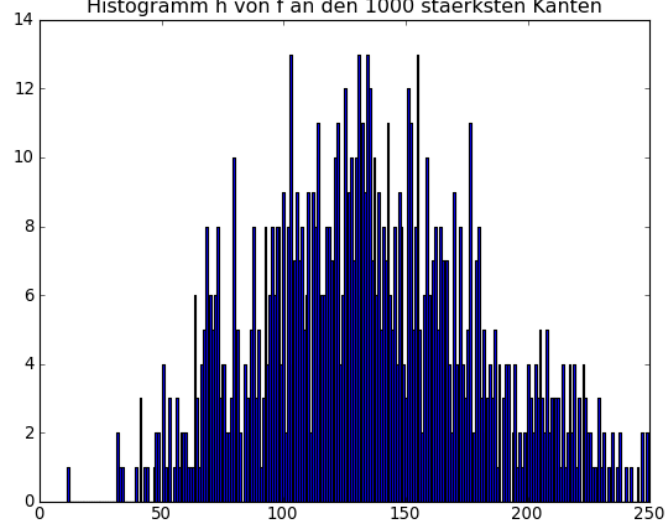
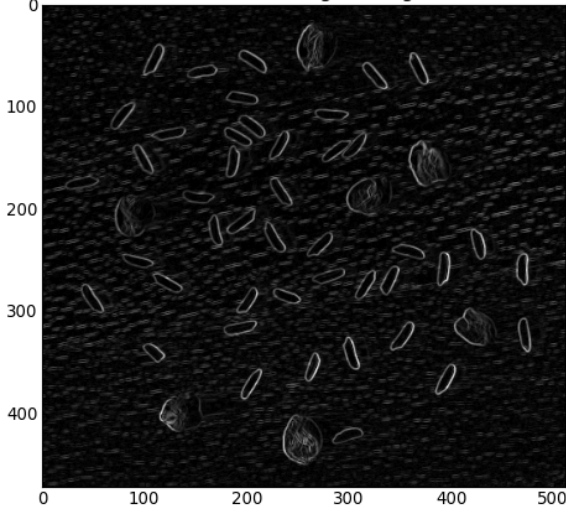
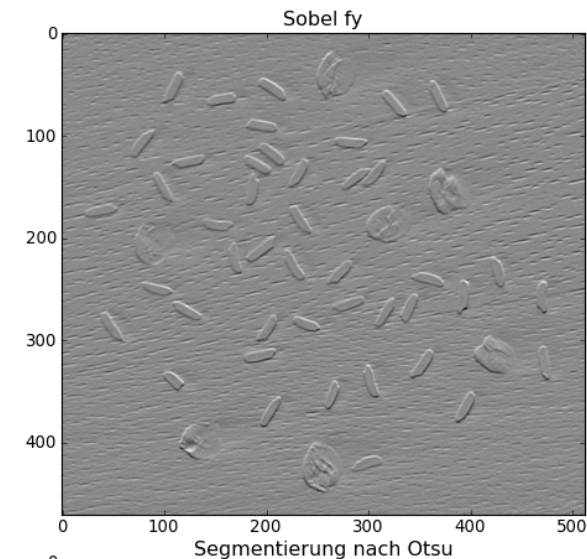
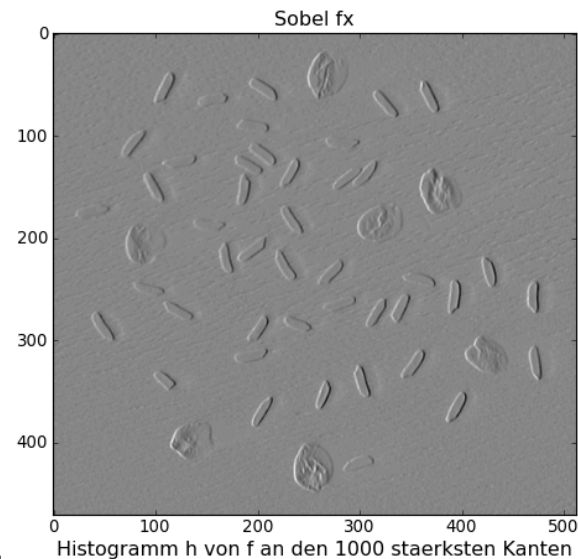
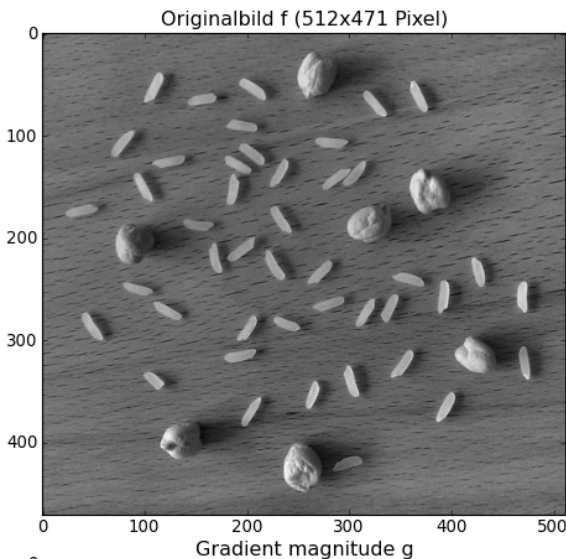
Verbesserung der histogrammbasierten Segmentierung durch Kanten

- Idee: Nur Pixel in Histogramm eintragen, die auf (oder nahe an) Kanten liegen
 - gleiche Wahrscheinlichkeit, dass solche Pixel auf Vorder- oder Hintergrund liegen
 - Gradienten- oder Laplace-Operatoren zum Finden der Kanten (aber: nicht alle Kanten separieren Vorder- und Hintergrund)
- Algorithmus
 - Kantenbild g von f berechnen (Gradienten-/Laplace-Operatoren)
 - Pixel (x,y) auf Kantenbild g auswählen mit $g(x,y) > T$
 - Histogramm h von f mit ausgewählten Pixeln berechnen
 - Methode von Otsu auf h zur globalen Segmentierung anwenden

Histogramm aller Pixel



Histogramm der Pixel an den Stellen der 1000 längsten Gradienten



Region Labeling per Flood Fill

- Schwellenwert zerlegt das Bild in Vordergrund- und Hintergrundsegmente
- **Region Labeling** bestimmt Ort und Anzahl aller zusammenhängenden Gebiete im Binärbild b :

```
initialise() // Region der Größe M,N erzeugen und
label=0      // mit 0 initialisieren, Startlabel=1
for (i,j) = (0,0) to (M-1,N-1) do // Doppelschleife über i und j
    if labels(i,j) == 0 then      // dieser Ort ist noch nicht
                                  // Teil einer Region
        label = label + 1        // neues Label vergeben
        flood_fill(i,j,label)    // zusammenhängendes
                                  // Gebiet um (i,j) mit
                                  // Label füllen
```

Region Labeling per Flood Fill

```
flood_fill(i,j,label) // Variablen zur Auswertung der
                       Zusammenhangsbedingung sind global verfügbar

if f(i,j) erfüllt Zusammenhangsbedingung then
    region(i,j) = label // Region an (i,j) mit Label
                       // versehen

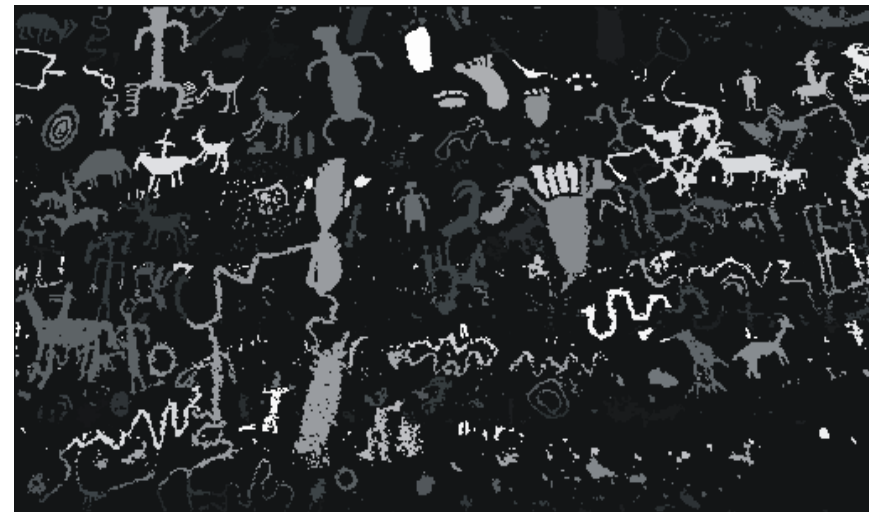
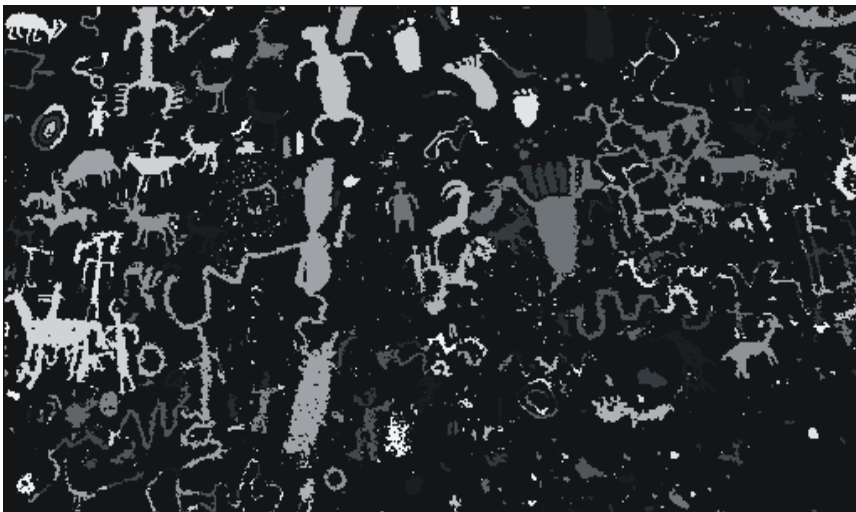
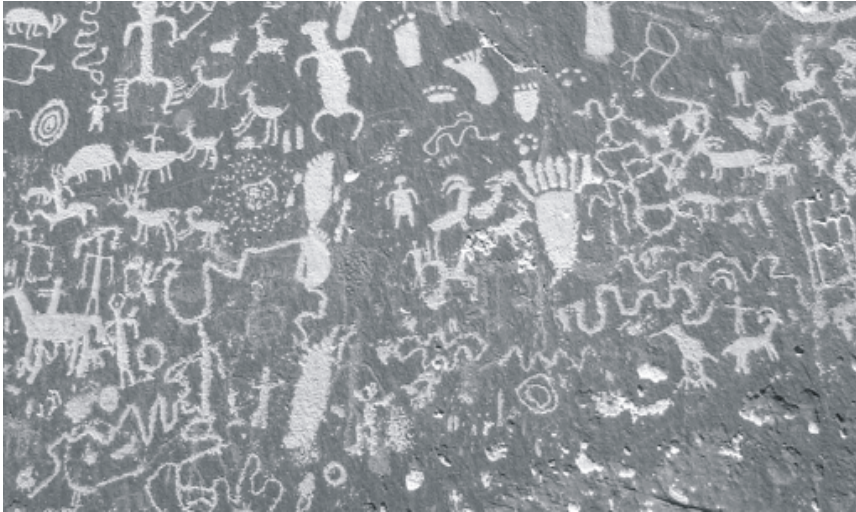
    flood_fill(i-1,j,label) // Nachbarpixel untersuchen
    flood_fill(i,j-1,label)
    flood_fill(i+1,j,label)
    flood_fill(i,j+1,label)
```

Region labeling:

- vollständige Segmentierung?
- überdeckungsfrei?
- zusammenhängend?

Bsp. für **Zusammenhangsbedingung**:
hat den gleichen Grauwert wie
Saatpunkt

Resultat



(einfache) Merkmale der Regionen



- Größe, Bounding Box
- Schwerpunkt
- Länge und Orientierung der Haupt- und Nebenachsen
 - Eigenwerte und Eigenvektoren der Kovarianzmatrix M mit

$$M(segment) = \begin{pmatrix} f_{xxSum}(segment) & f_{xySum}(segment) \\ f_{xySum}(segment) & f_{yySum}(segment) \end{pmatrix}$$

mit

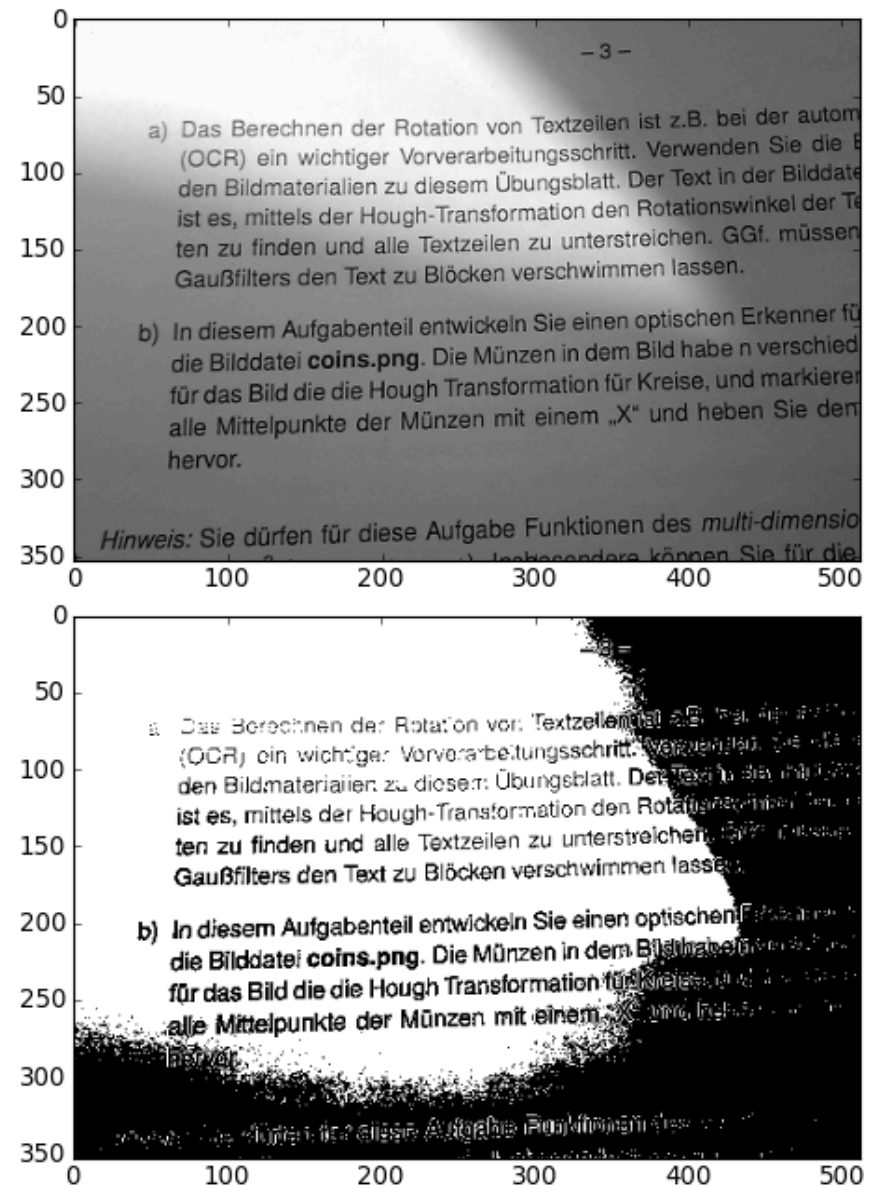
$$f_{xxSum}(segment) = \frac{1}{segment.size} \sum_{(x,y) \in segment} (x - segment.center.x)^2$$

$$f_{yySum}(segment) = \frac{1}{segment.size} \sum_{(x,y) \in segment} (y - segment.center.y)^2$$

$$f_{xySum}(segment) = \frac{1}{segment.size} \sum_{(x,y) \in segment} (x - segment.center.x)(y - segment.center.y)$$

Shading

- Helligkeitsvariationen zerstören die bimodale Verteilung der Häufigkeiten
 - ungleichmäßige Beleuchtung
 - Schatten
 - unterschiedliche Reflexionseigenschaften der Oberfläche
- Schwellenwert ist nicht mehr global (für das gesamte Bild) definierbar

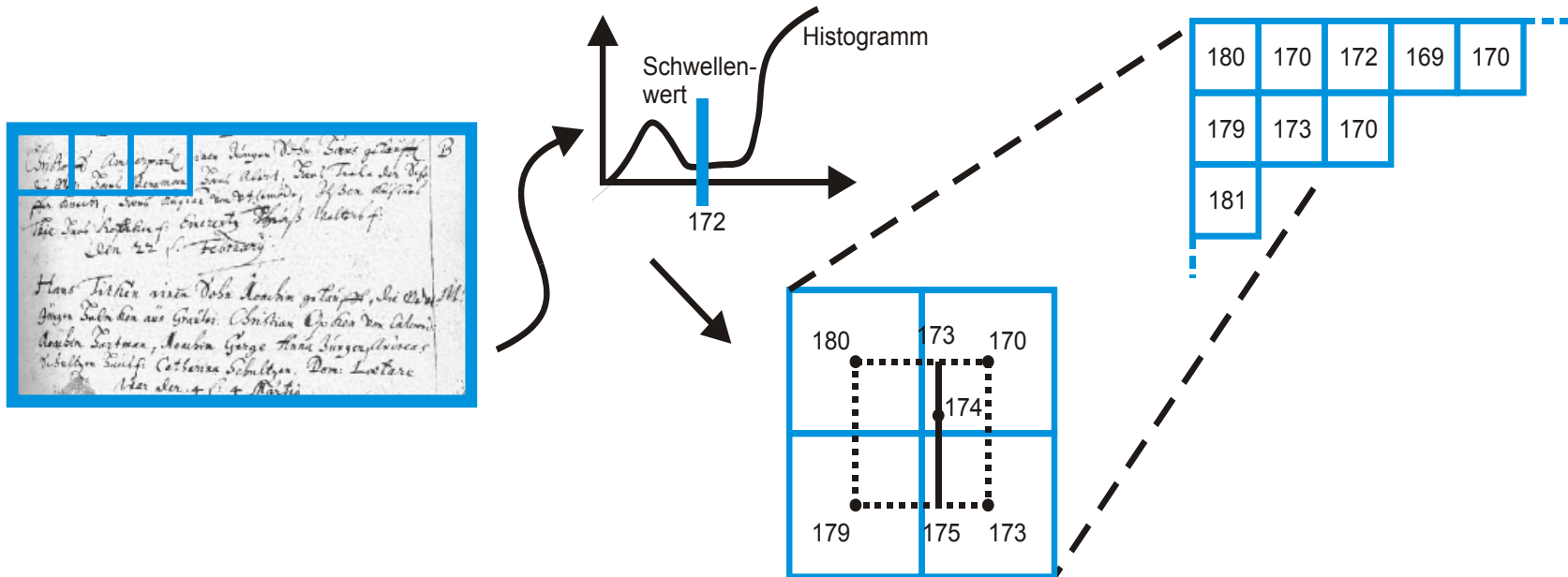


Berücksichtigung von Shading

- Homogenes Bild unter gleichen Bedingungen aufnehmen
- Shading-Bild aus dem Bild selbst bestimmen
- Lokale Schwellenwerte

- Shading invertieren/subtrahieren

Lokale Schwellenwerte

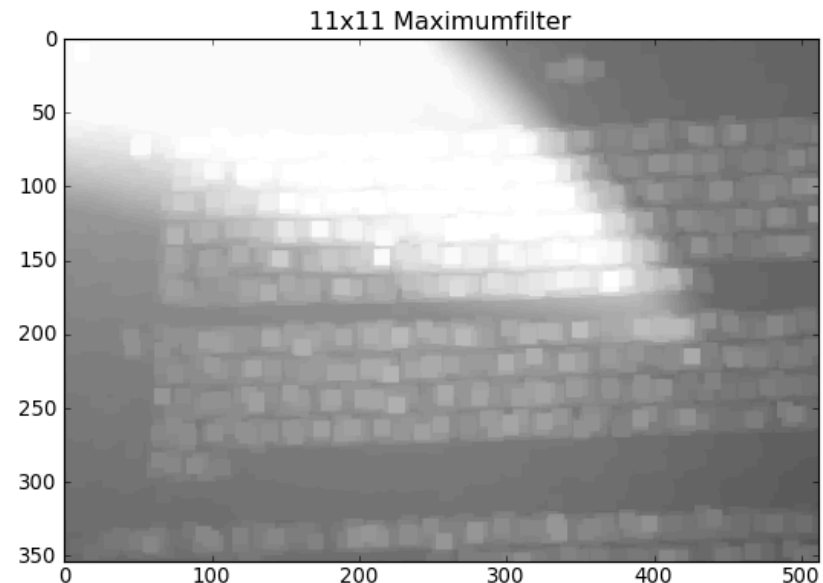
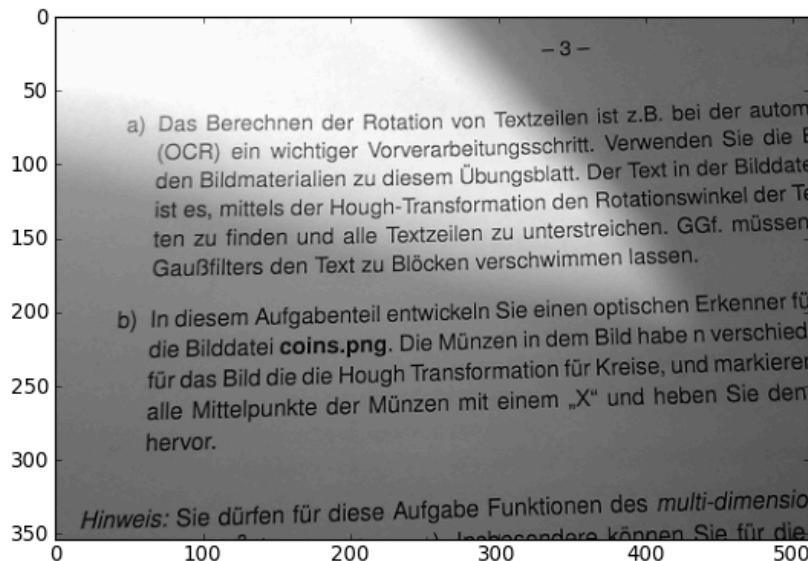


Lokale Schwellenwerte aus Histogrammen in Teilregionen
(Lineare) Interpolation von Schwellenwerten $T(i,j)$ an allen
anderen Punkten

Segmentierung durch $f(i,j) > T(i,j)$

Bestimmung des Shading-Bilds

- Falls überwiegender Anteil des Bildes Vorder- oder Hintergrundpixel: Shading-Bild durch Rangordnungsfilter (Minimum- bzw. Maximumfilter) erzeugbar
- Rangordnungsfilter mindestens so groß, dass immer mindestens ein Vordergrund- und ein Hintergrundpixel unter Filtermaske



Shading-Korrektur

- Berechne aus dem Hintergrundbild Shading-Funktion $s(i,j)$

- Korrektur:

$$g(i,j) = f(i,j) - s(i,j)$$

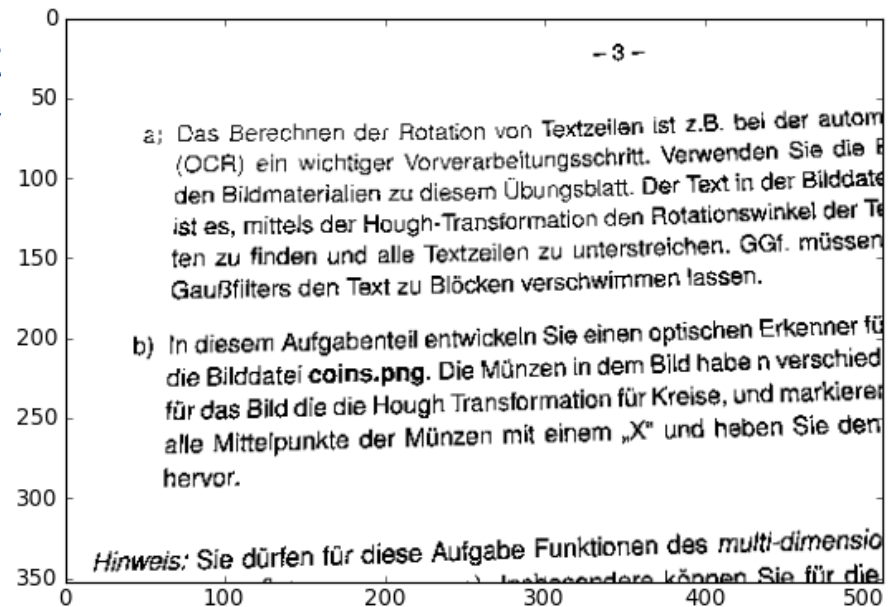
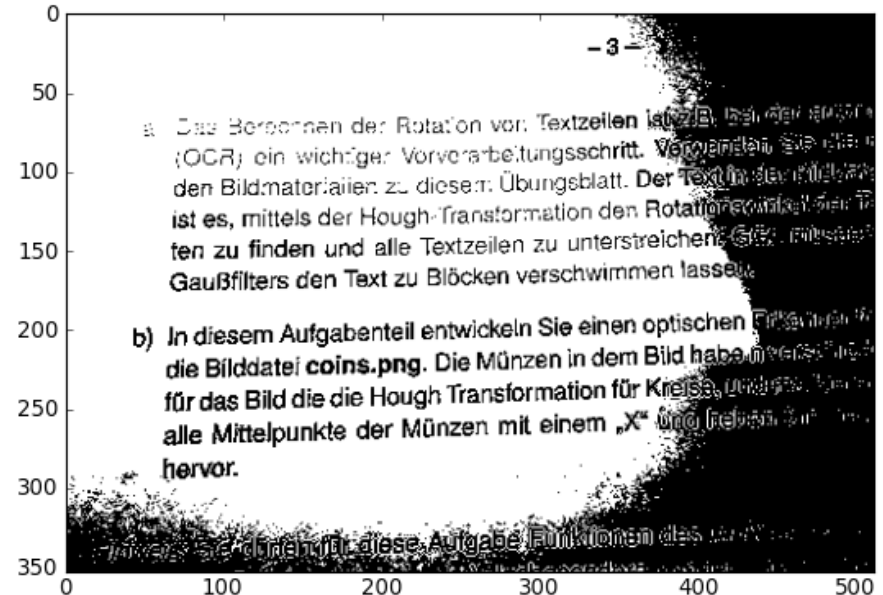
bzw.

$$g(i,j) = f(i,j) / s(i,j)$$

- Segmentierung auf dem korrigierten Bild

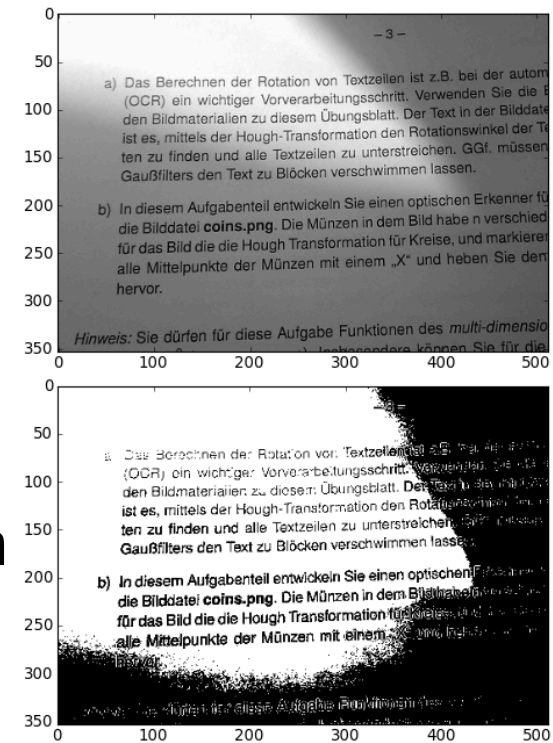
ohne
Korrektur

mit
Korrektur



Adaptive Schwellenwerte

- Globale Schwellenwerte problematisch
 - bei Shading nicht oft mehr global (für das gesamte Bild) definierbar
- Aufteilung des Bildes auch problematisch
 - Aufteilung klein genug, dass Beleuchtung (nahezu uniform), aber nicht so klein, dass nur Hintergrund- oder nur Vordergrundpixel
- Adaptive Schwellenwerte
 - Schwellenwert wird an jedem Punkt im Bild neu berechnet
 - typische Strategie: zeilenweises Durchlaufen im zick-zack, gleitender Durchschnitt der letzten n Grauwerte



Wellner's Adaptive Thresholding

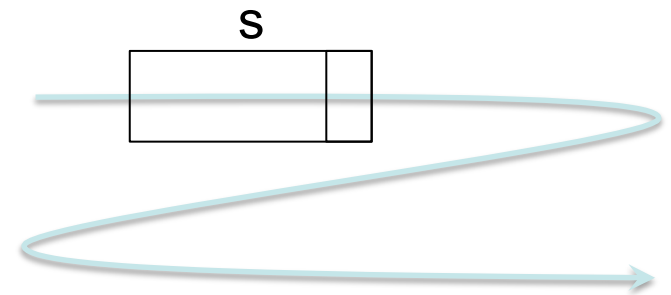
- Zeilenweises Durchlaufen im Zick-zack
- (s -facher) Durchschnittsgrauwert der letzten s Pixel:

$$g_s(n) = g_s(n-1) \cdot \left(1 - \frac{1}{s}\right) + p_n, s = \frac{w}{8}$$

- Initialisierung: $g_s(0) = s \frac{c}{2}$

- Schwellenwert:

$$T(n) = \begin{cases} 0 & \text{falls } p_n < \frac{g_s(n)}{s} \cdot \frac{100-t}{100}, t = 15 \\ 1 & \text{sonst} \end{cases}$$

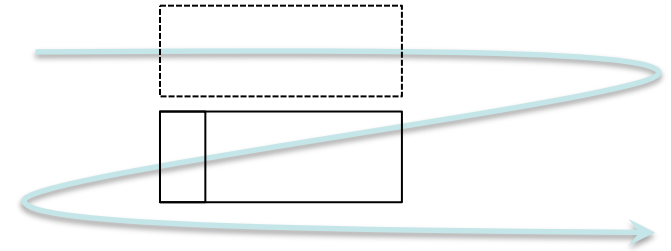


Pierre D. Wellner. Adaptive thresholding for the DigitalDesk. Technical Report EPC-93-110, Rank Xerox Research Centre, Cambridge, UK, 1993.

Wellner's Adaptive Thresholding

- Verbesserung: Berücksichtigung des durchschnittlichen (s-fachen) Grauwerts über dem aktuellen Pixel

$$h_s(n) = \frac{1}{2} (g_s(n) + g_s(n-w))$$



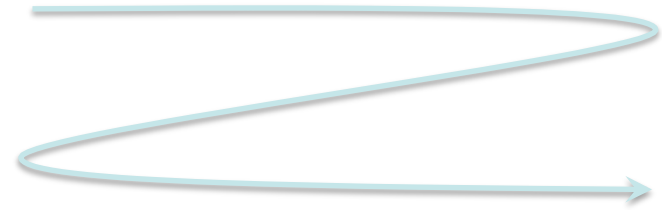
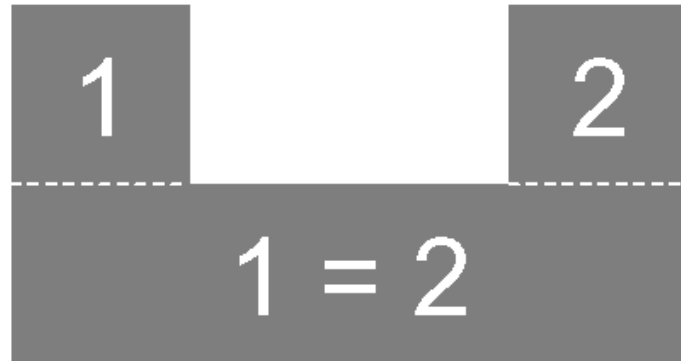
$$T(n) = \begin{cases} 0 & \text{falls } p_n < \frac{h_s(n)}{s} \cdot \frac{100-t}{100} \\ 1 & \text{sonst} \end{cases}, t = 15$$

Pierre D. Wellner. Adaptive thresholding for the DigitalDesk. Technical Report EPC-93-110, Rank Xerox Research Centre, Cambridge, UK, 1993.

Region Labeling 1. Phase: Vorläufige Label

- Basiert auf 4-Nachbarschaft
- Falls auf Vordergrund-Pixel p gestoßen, betrachte bearbeitete Nachbarpixel darüber und links davon (falls aktuelle Bildzeile v.l.n.r. durchlaufen) bzw. rechts davon (sonst)
- Falls beide Nachbarn (darüber, links/rechts) Vordergrund, dann setze $\text{Label}(p) = \text{Label}(\text{darüber})$
 - falls $\text{Label}(\text{darüber}) \neq \text{Label}(\text{links/rechts})$, dann markiere beide Label als äquivalent (Äquivalenzketten)
- sonst, falls einer der Nachbarn (darüber, links/rechts) Vordergrund, dann setze $\text{Label}(p)$ auf dessen Label
- sonst vergebe neues Label für p
 - füge in eigene Äquivalenzkette ein

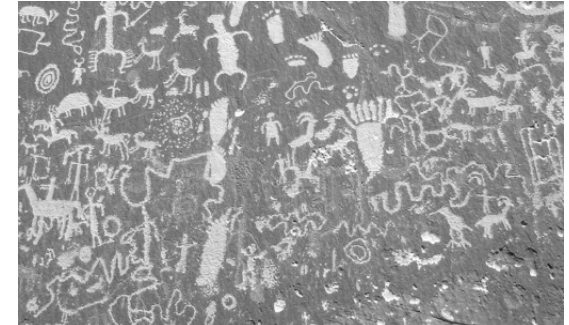
Region Labeling 2. Phase: Auflösen der Äquivalenzen



- Label-Äquivalenzen werden möglicherweise erst später erkannt (→ Durchlauf zeilenweise)
- Labeling 2. Phase: Auflösen der Äquivalenzen
 - Durch Äquivalenzkette laufen und jedem Pixel in der gleichen Äquivalenzkette das gleiche finale Label geben

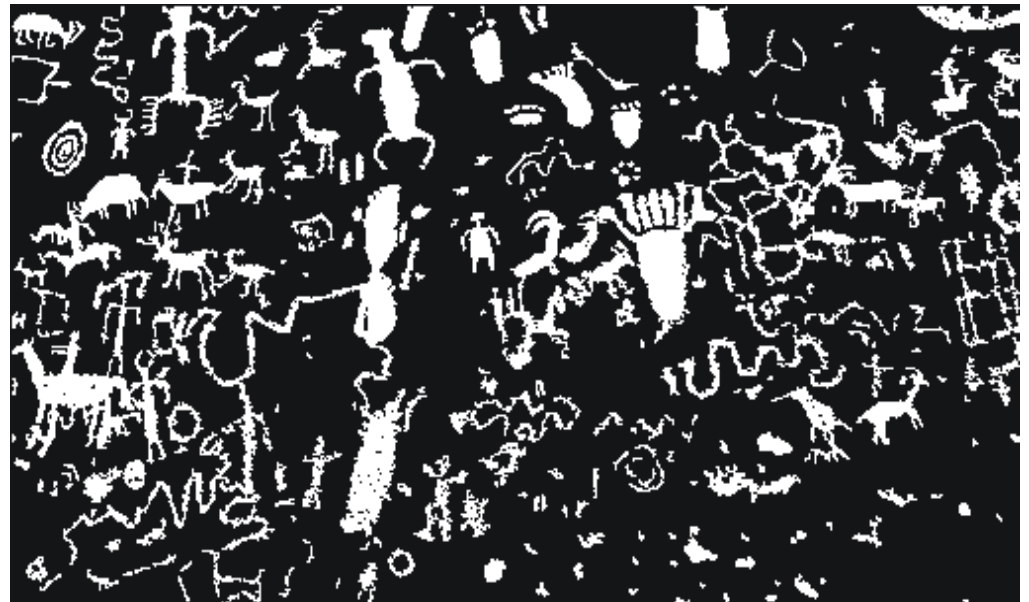
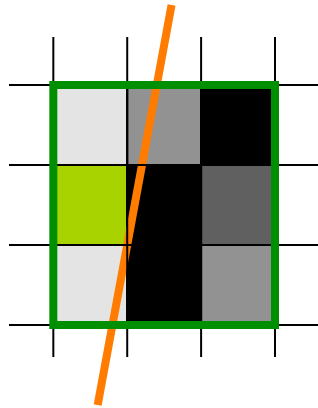
Nachverarbeitung

- Trennung nach Grauwerten nicht perfekt
- Schwellenwertbild enthält falsche Regionen
 - kleine fälschlicherweise als Segmente identifizierte Regionen
 - Störungen am Rand von Regionen
- Nachverarbeitung
 - Medianfilterung auf den Labels
 - Entfernung von zu kleinen Regionen



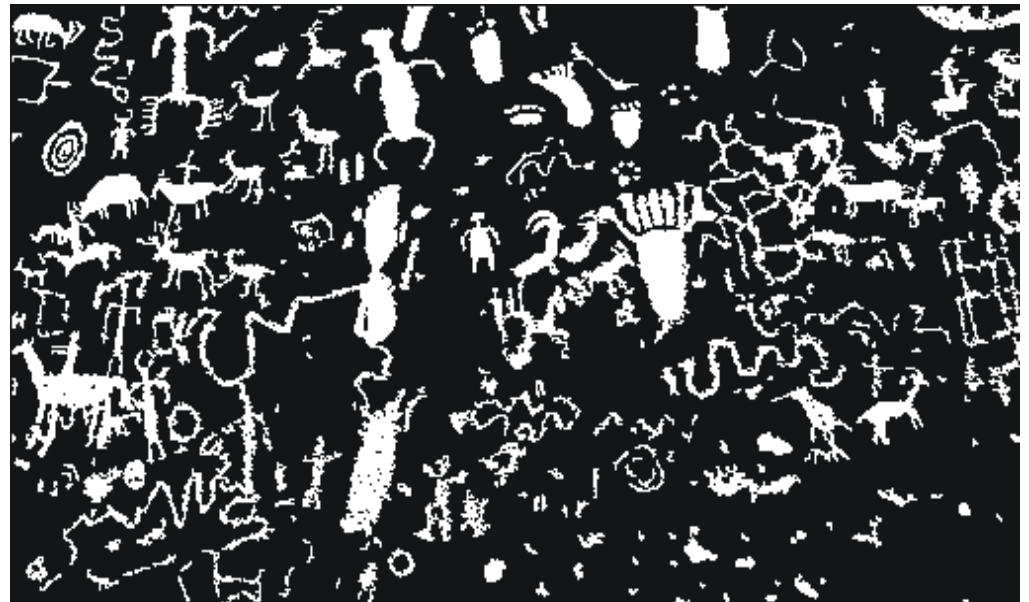
Medianfilterung auf Labeln

Wieso geht das
überhaupt?
→ siehe Def.
Medianfilter



Entfernung kleiner Gebiete

- Morphologische
Operationen
→ nächste Vorlesung

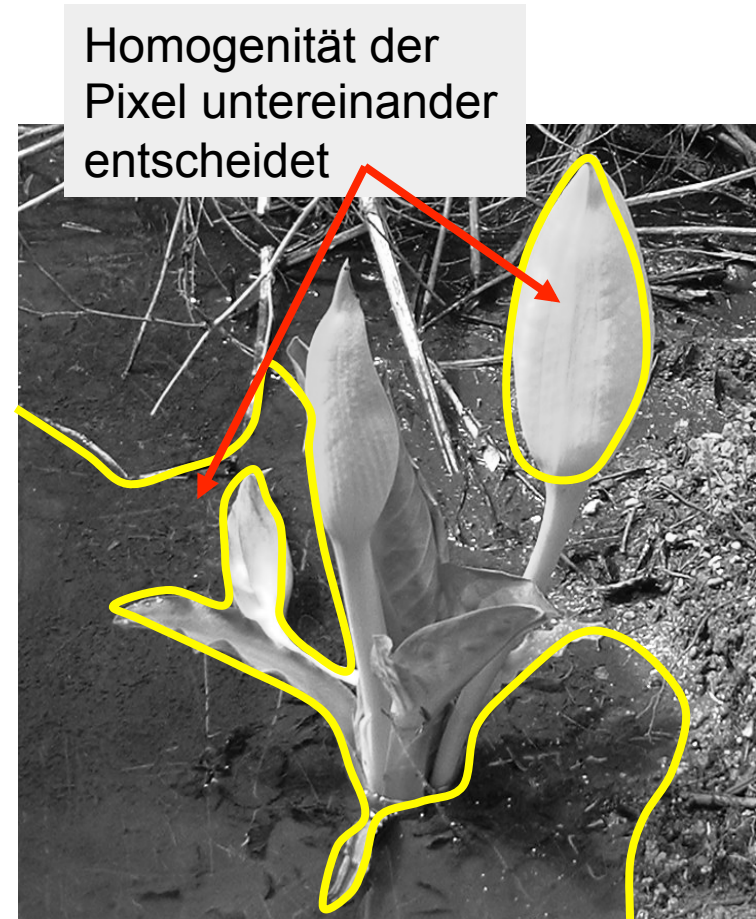


Regionenbasierte Segmentierung

- Region Merging
- Multiskalenstrategie
- Split-and-Merge
- Textursegmentierung

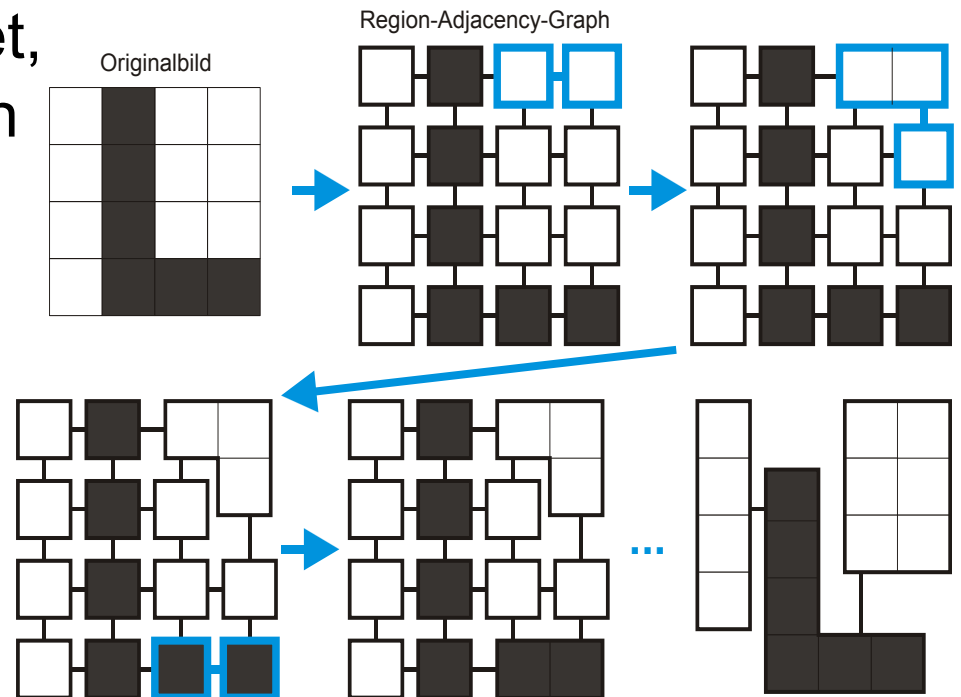
Regionenbasierte Segmentierung

- **Homogenität** im Inneren des Segments
- Homogenitätsbedingung wird **bei der Segmentierung** ausgewertet
- Globale Zusammenhänge über **Multiskalenstrategie**



Region Merging

- Initial wird jedes Pixel zu einem Segment erklärt
- Zwei benachbarte Regionen werden zusammengefasst, wenn sie auch gemeinsam das Homogenitätskriterium erfüllen
- Segmentierung ist beendet, wenn keine zwei Regionen mehr zusammengefasst werden können
- Zwischenergebnisse werden in einem Region Adjacency Graph (RAG) gespeichert



Region Merging

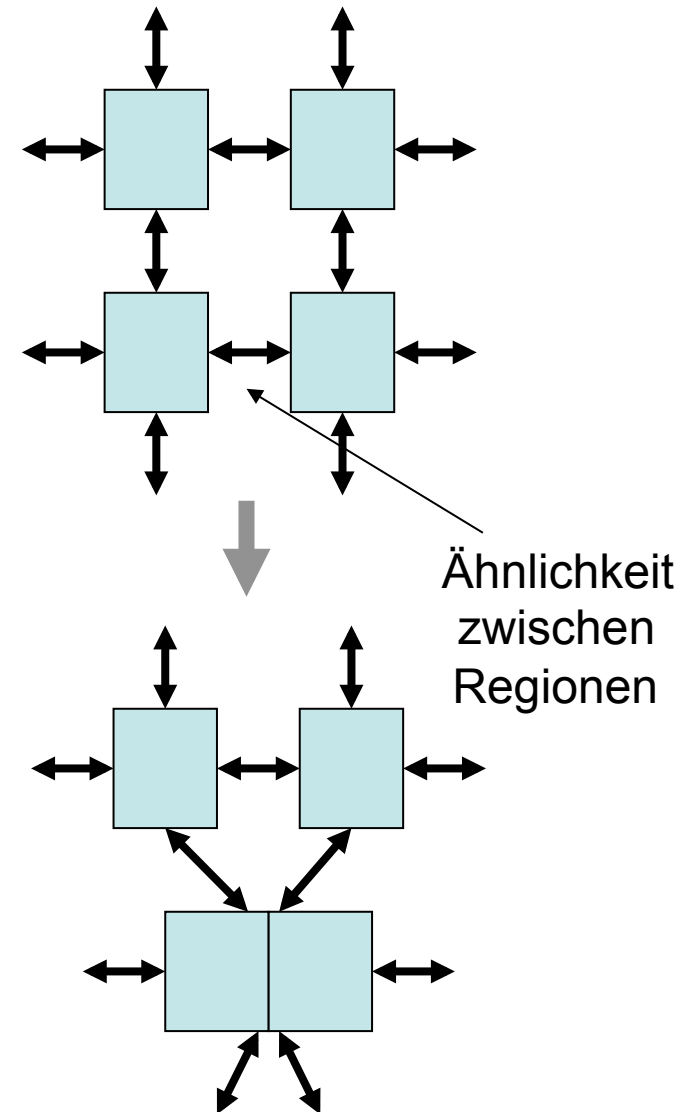
„von Pixeln zu Regionen“:

```
stopMerge = false
while not stopMerge do
  (r1,r2) = MaxSimilarity(region)
  if sim(r1,r2) > T then
    region.merge(r1,r2)
  else
    stopMerge=true
```

Bsp. f. Ähnlichkeitskriterium:

maximaler Grauwertunterschied
zwischen Pixeln von r1 und r2

Region Labeling kann in den
Prozess integriert werden



Region Merging und Multiskalenstrategie

Modellannahme:

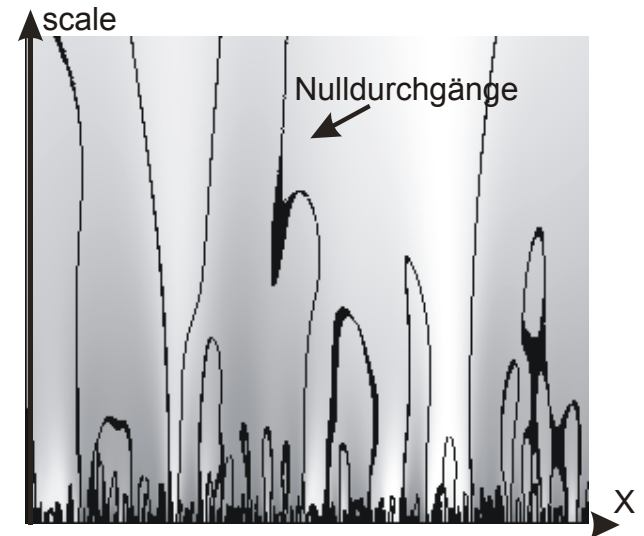
Die größte Skalierungsstufe, auf der sich segmentierungsrelevante Eigenschaften zeigen, ist bekannt

Prozess:

- Region Merging auf grober Skalierung
- Übertragung des Resultats auf die nächstfeinere Stufe
- Alle Pixel, die zu Pixeln eines anderen Segments benachbart sind, werden nochmals geprüft
- Verfahren endet, wenn die feinste Skalierungsstufe erreicht ist

Multiskalenstrategie

- Relative Kriterien für Homogenität können über unterschiedliche Entfernungen verschieden wirken
- Segmentierung nach Multiskalenstrategie wertet Kriterien auf unterschiedlichen Skalierungen aus



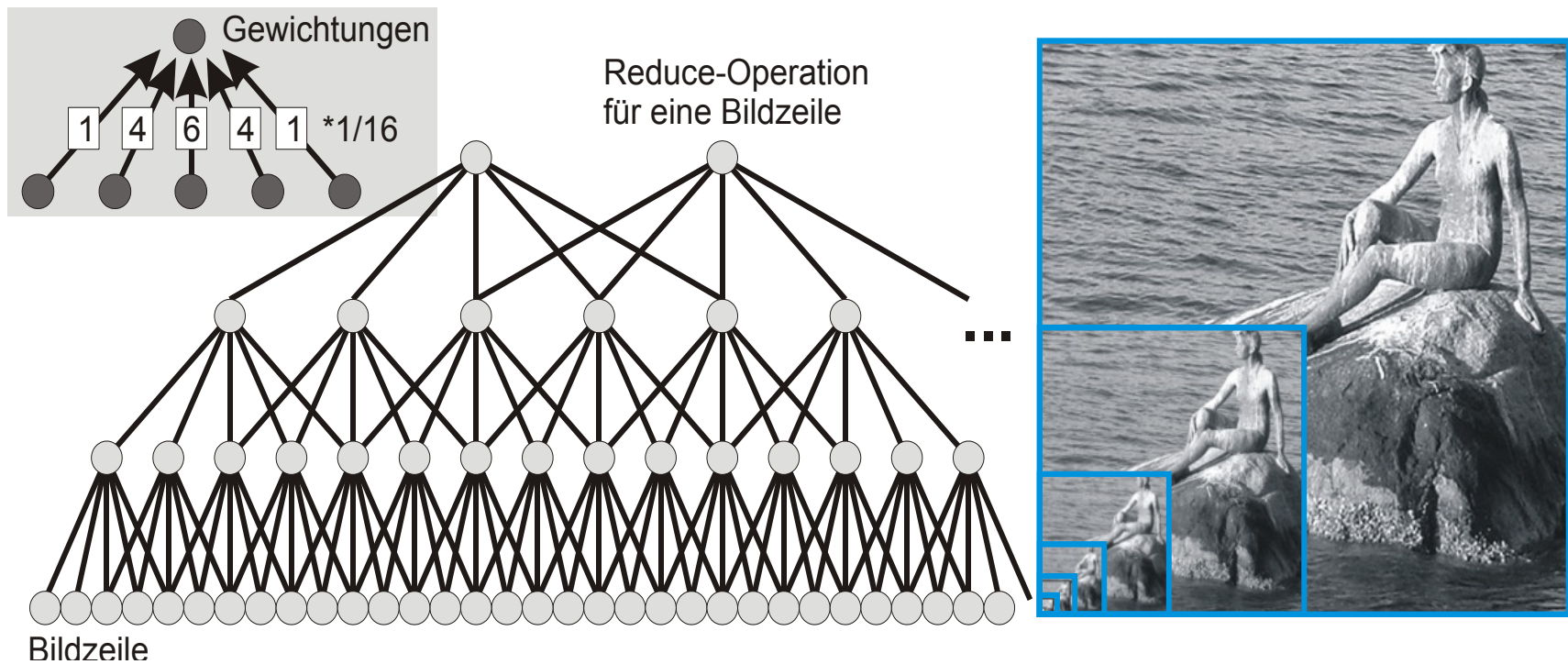
Gaußpyramide

- Das Originalbild wird fortlaufend durch eine reduce-Operation skaliert
- Jedes Pixel der nächsthöheren Skalierungsstufe repräsentiert 5 Pixel der aktuellen Stufe
- Vor der Reduktion wird der Frequenzumfang durch Filterung vermindert:

– Gaußfilter $\frac{1}{16} (0.87 \quad 3.91 \quad 6.44 \quad 3.91 \quad 0.87)$

– Binomialfilter $\frac{1}{16} (1 \quad 4 \quad 6 \quad 4 \quad 1)$

Gaußpyramide



Expand-Operation

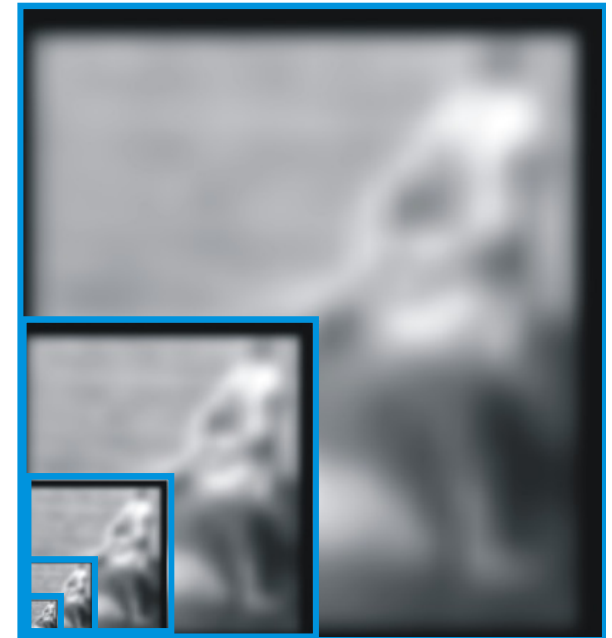
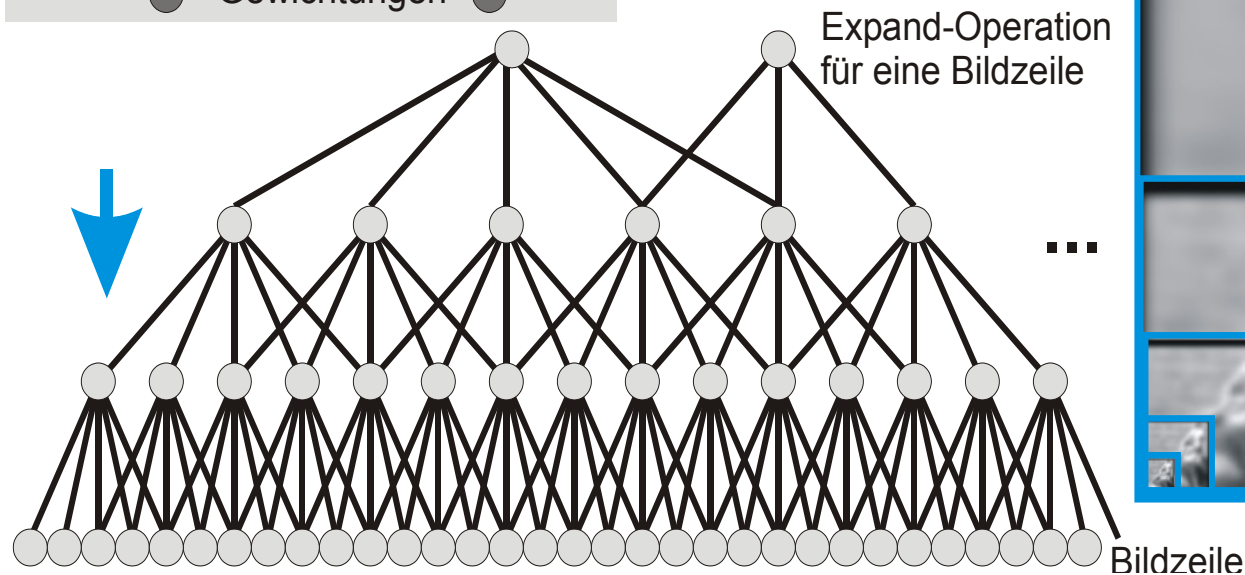
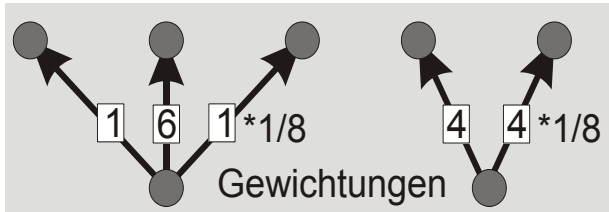
- Um die vorherige Skalierungsstufe zu erzeugen, wird eine expand-Operation definiert
- Pixel der neuen Skalierungsstufe werden durch Interpolation erzeugt
 - Pixelorte, die auf beiden Skalierungsstufen existieren:

$$\frac{1}{8.18} (0.87 \quad 6.44 \quad 0.87) \text{ bzw. } \frac{1}{8} (1 \quad 6 \quad 1)$$

- Pixelorte, die nur auf der vorherigen Skalierungsstufe existieren:

$$\frac{1}{7.82} (3.91 \quad 3.91) \text{ bzw. } \frac{1}{8} (4 \quad 4)$$

Expand-Operation

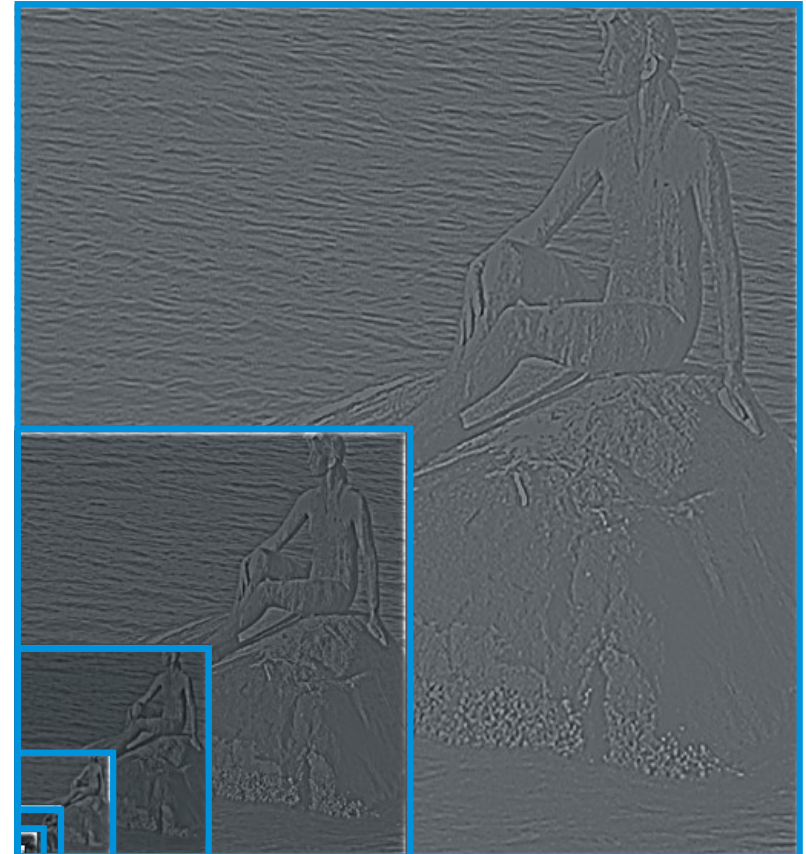


Die Expand-Operation ist nicht verlustfrei

Laplace-Pyramide

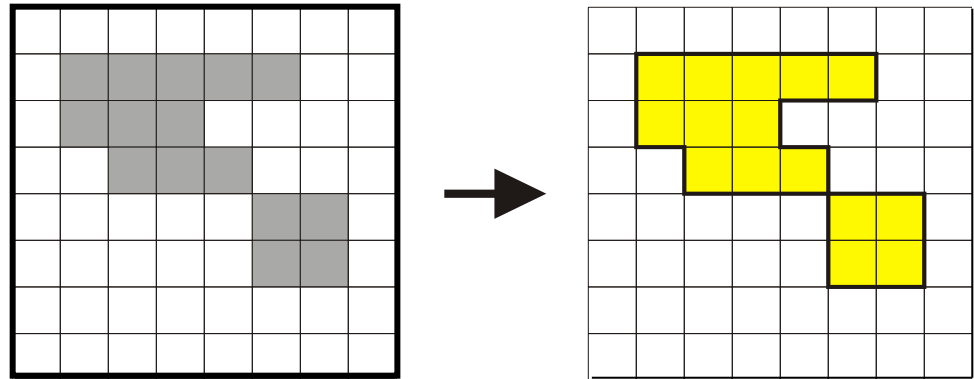
- Jede Skalierungsstufe s enthält nur den Unterschied $f_s - \text{expand}(\text{reduce}(f_s))$
- redundanzfreie Repräsentation

$\text{expand}(\text{reduce}(\text{image})) - \text{image}$



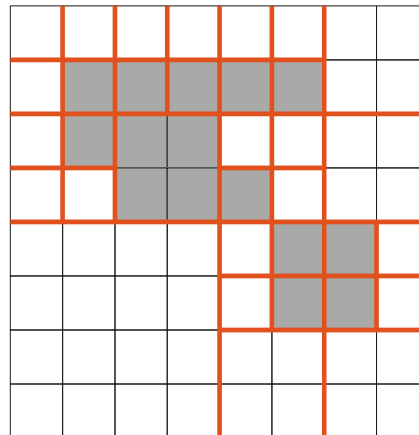
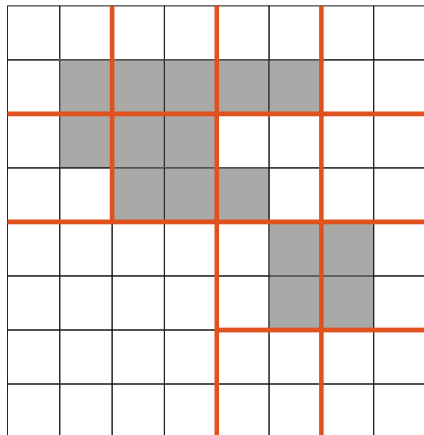
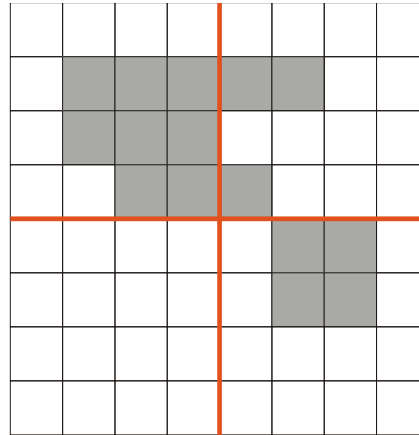
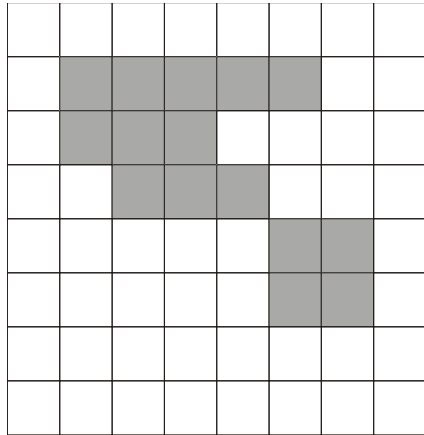
Split & Merge-Algorithmus

Regionenbasiertes
Verfahren



- **Startbedingung:** Das gesamte Bild ist ein Segment
- Jedes Segment wird solange in 4 Untersegmente zerlegt, wie es ein gegebenes Homogenitätskriterium nicht erfüllt
- Benachbarte Segmente werden zusammengefasst, wenn sie auch zusammengenommen homogen sind
- **Resultat** ist eine vollständige, überdeckungsfreie Zerlegung des Bildes (Segmentierung gemäß Definition)

Zerlegungsschritt

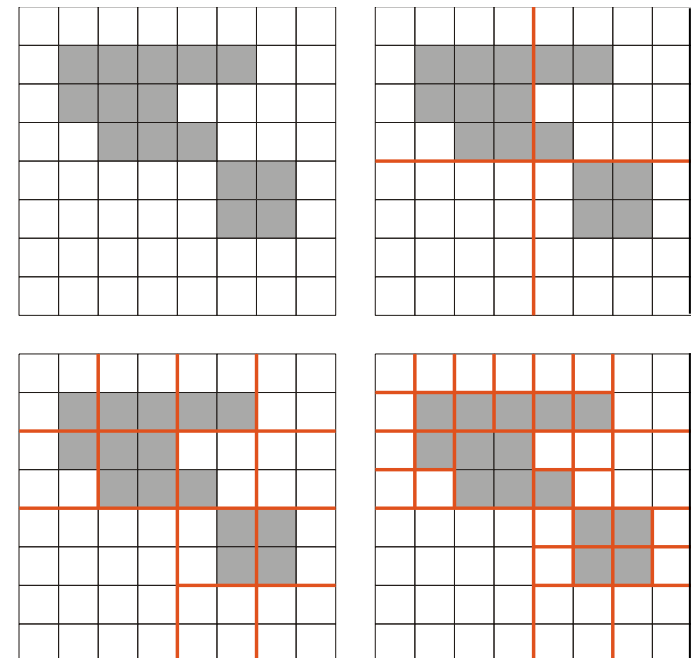
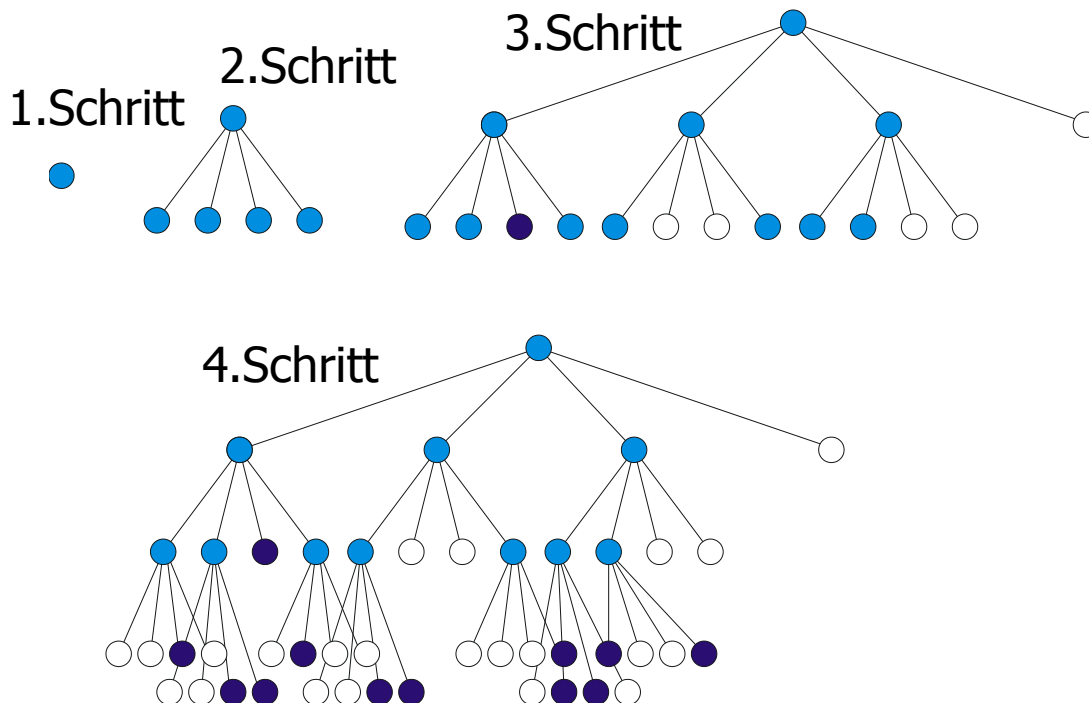


Zerlegung terminiert
spätestens auf
Pixelebene

Problem: Datenstruktur
zur Dokumentation der
aktuellen Zerlegung
→ Quad-Tree

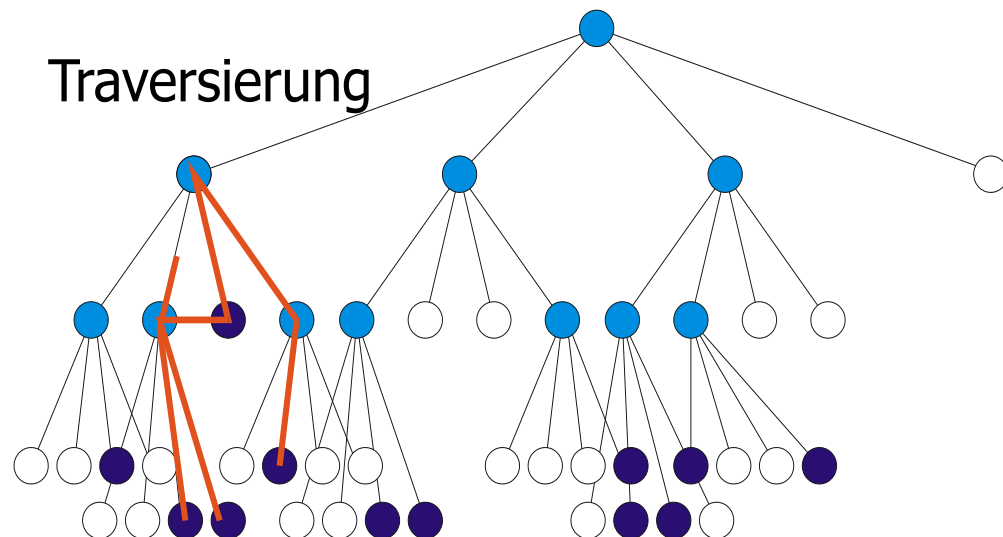
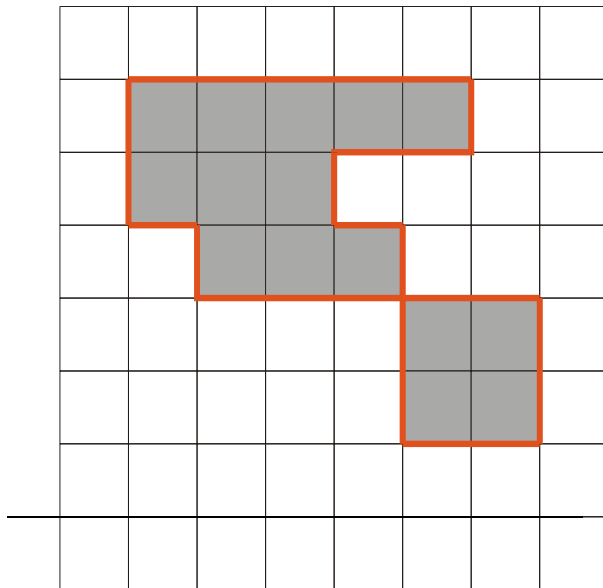
Zerlegungsschritt (Quad-Tree Repräsentation)

Wert des Homogenitätsmerkmals
einer Region wird im entsprechen-
den Blatt des Quad-Tree abgelegt



Merging

Quadtree wird traversiert und in einen RAG überführt
Auf dem RAG wird ein Region Merging durchgeführt



Split & Merge

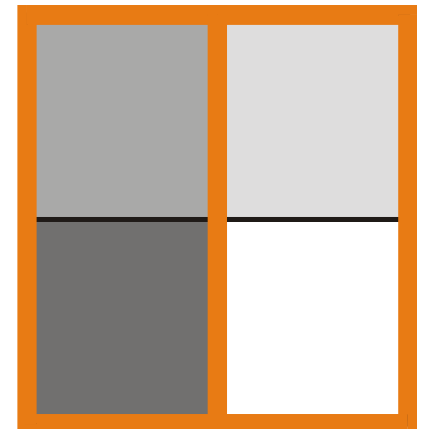
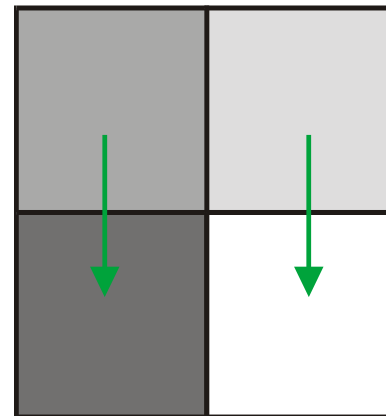
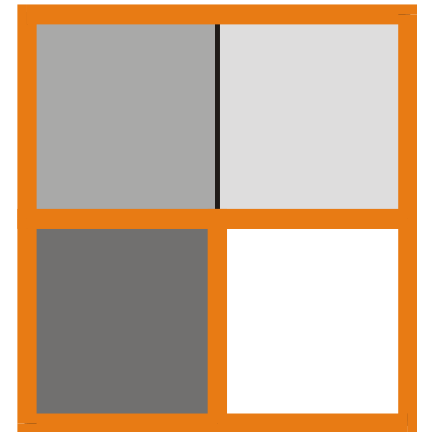
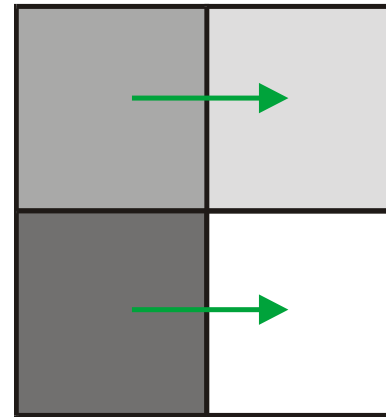
Resultat: Zerlegung des gesamten Bilds in Regionen

Multiskalenstrategie ist integriert

Homogenitätsmerkmale wie bei
Region Merging

Probleme (Region Merging und
Split & Merge):

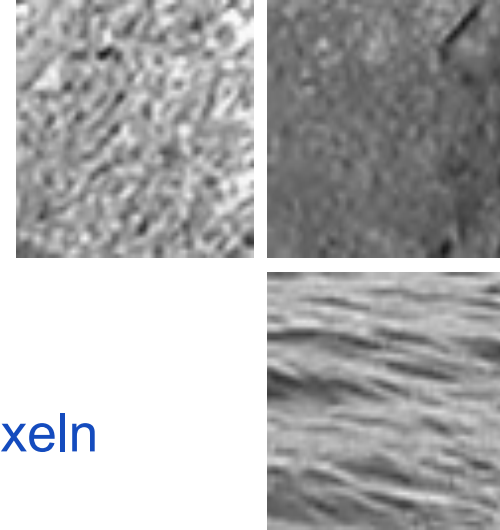
- Merge-Schritt ist bei relativem Homogenitätsmerkmal **nicht immer eindeutig**
- **Minimale Segmentzahl** wird nicht immer gefunden



Textur als Homogenitätsmerkmal

- Textur – Musterung der Oberfläche

- es existiert keine Definition von Textur
- es gibt eine große Anzahl von Texturmaßen
- Textur ist inhärent skalenabhängig
- Textur ist eine Eigenschaft einer Gruppe von Pixeln



- Texturmaße

- strukturell (Zusammensetzung aus Texturelementen – texeln)
- stochastisch (eine charakterisierbare Grauwertverteilung)
- spektral (charakteristische Frequenzattribute)

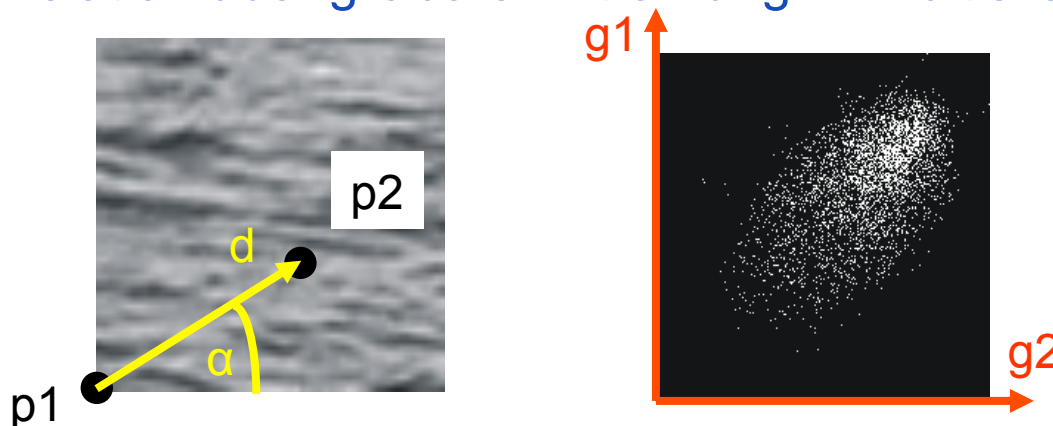


Haralick'sche Texturmaße

Robert
Haralick



- **Co-Occurrence-Matrix** = 2D-Histogramm für Pixelpaare
 - Pixel p_1 und p_2 sind ein Paar, wenn Abstand d haben und auf Linie mit Winkel α zur x -Achse liegen
- Repräsentiert Korrelation zwischen Pixeln
 - Wahrscheinlichkeit, dass p_1 und p_2 Grauwerte g_1 und g_2 haben
 - Meist sind Pixel nicht über große Entfernungen korreliert, daher $d=1$ oder $d=2$ üblich
 - Für Korrelation über größere Entfernung \rightarrow Multiskalenstrategie



Haralick'sche Texturmaße

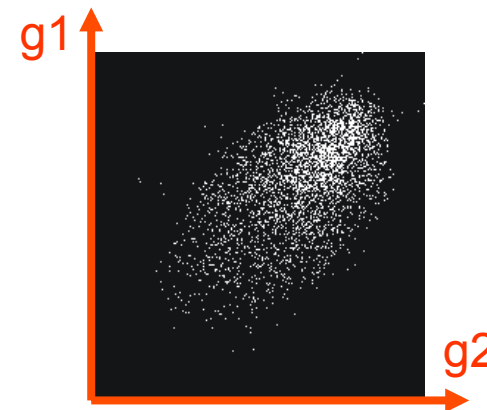
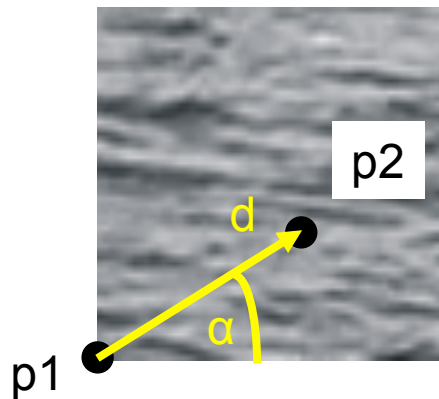
Robert
Haralick



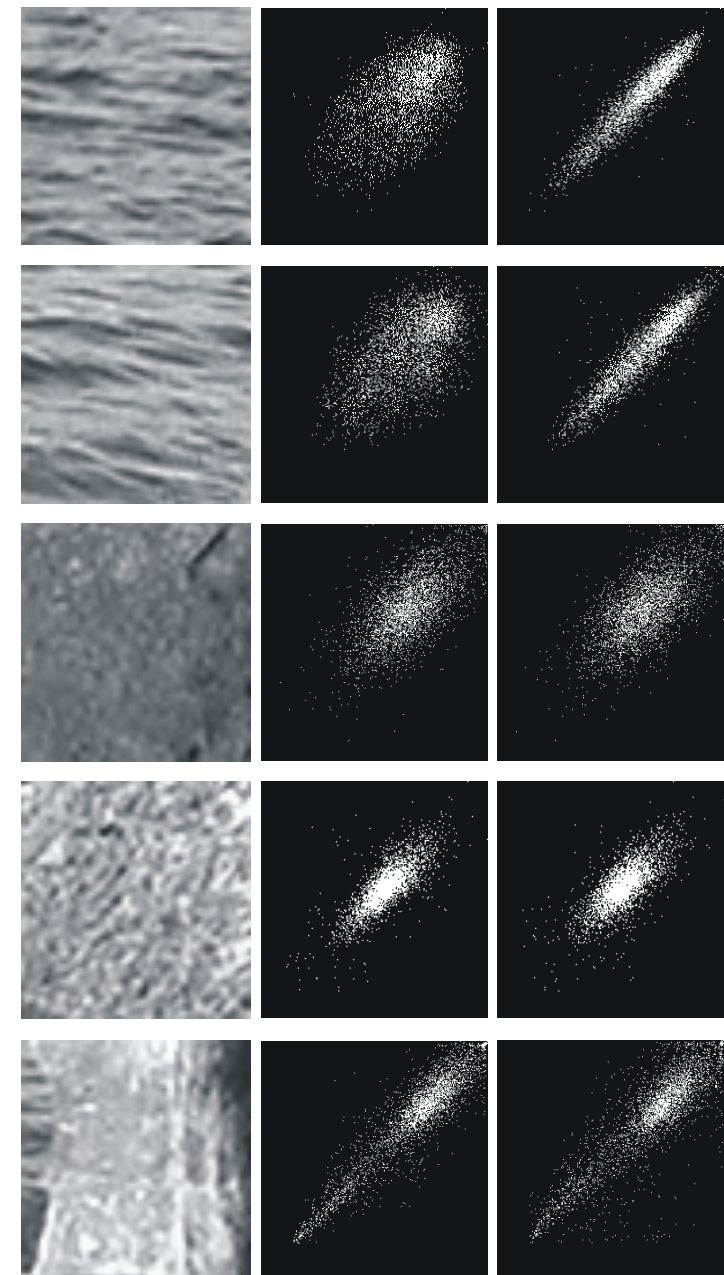
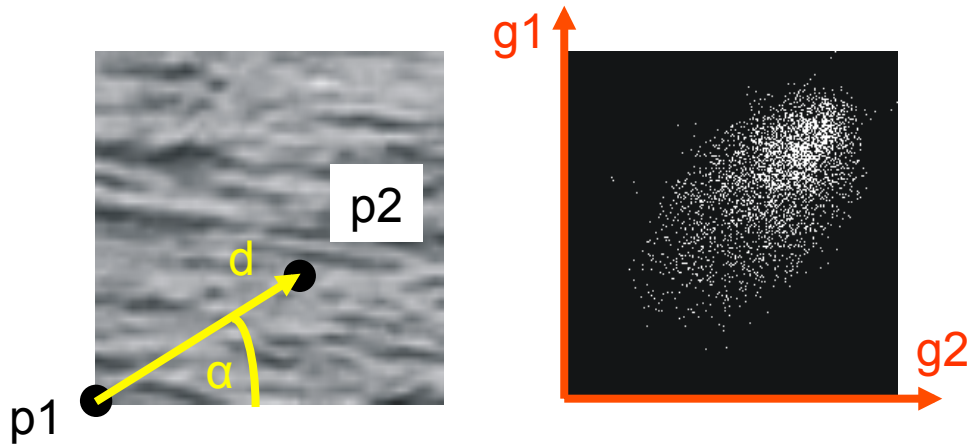
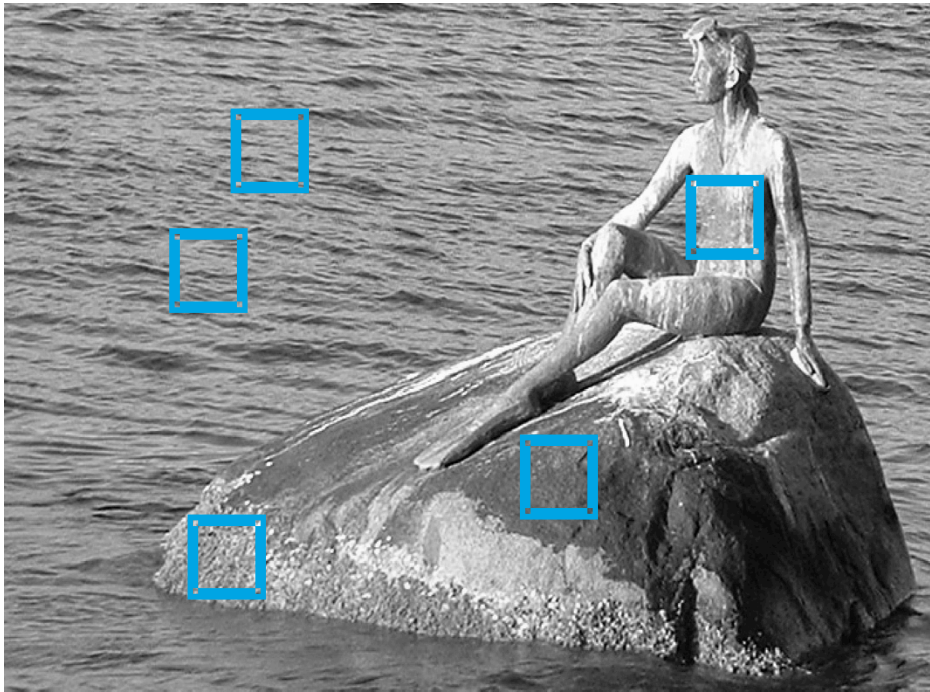
- Co-Occurrence-Matrix für Region R , $|R| = K$

$$P_{\alpha, \Delta}(g_1, g_2) = \frac{1}{|R|} \sum_{\vec{x} \in R} \delta_D(f(\vec{x}) - g_1) \cdot \delta_D(f(\vec{x} + \vec{d}) - g_2)$$

$$\vec{d} = \Delta \cdot \begin{pmatrix} \cos(\alpha) \\ \sin(\alpha) \end{pmatrix}$$



Co-Occurrence-Matrix



$d=1, \alpha=90^\circ, \alpha=0^\circ$

Haralick'sche Texturmaße

zunächst $P_{\Delta,\alpha}$ normieren: $P_{\Delta,\alpha} := \frac{1}{s} P_{\Delta,\alpha}$ mit $s = \sum_{g_1=0}^{K-1} \sum_{g_2=0}^{K-1} P_{\Delta,\alpha}(g_1, g_2)$

Energie / Uniformität $\sum_{g_1=0}^{K-1} \sum_{g_2=0}^{K-1} P_{\Delta,\alpha}^2(g_1, g_2)$

Kontrast $\sum_{g_1=0}^{K-1} \sum_{g_2=0}^{K-1} (g_1 - g_2)^2 \cdot P_{\Delta,\alpha}(g_1, g_2)$

Entropie $-\sum_{g_1=0}^{K-1} \sum_{g_2=0}^{K-1} P_{\Delta,\alpha}(g_1, g_2) \cdot \log_2 [P_{\Delta,\alpha}(g_1, g_2)]$

Homogenität /
inverse Differenz $\sum_{g_1=0}^{K-1} \sum_{g_2=0}^{K-1} \frac{P_{\Delta,\alpha}(g_1, g_2)}{1 + |g_1 - g_2|}$

- liefern aussagekräftige Kennwerte für Texturen
- zur Segmentierung
 - Berechnung für $\Delta = 1$ und $\alpha = 0^\circ, 45^\circ, 90^\circ, 135^\circ$
 - Merkmalsvektor aus Texturmaßen
 - empfohlene Merkmale zur Texturklassifikation: Entropie, Kontrast, Korrelation

Haralick'sche Texturmaße (weitere)

zunächst $P_{\Delta,\alpha}$ normieren: $P_{\Delta,\alpha} := \frac{1}{s} P_{\Delta,\alpha}$ mit $s = \sum_{g_1=0}^{K-1} \sum_{g_2=0}^{K-1} P_{\Delta,\alpha}(g_1, g_2)$

$$\text{Korrelation} \quad \sum_{g_1=0}^{K-1} \sum_{g_2=0}^{K-1} \frac{(g_1 - \mu_1) \cdot (g_2 - \mu_2) \cdot P_{\Delta,\alpha}(g_1, g_2)}{\sigma_1 \sigma_2}$$

mit

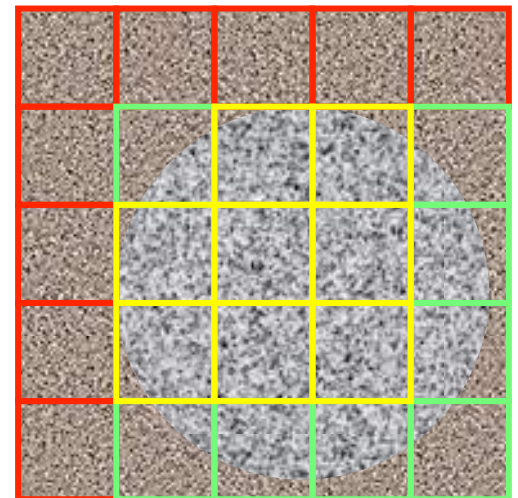
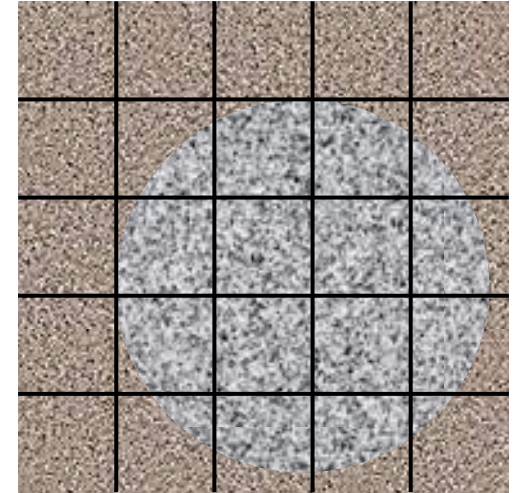
$$\begin{aligned} \mu_1 &= \sum_{g_1=0}^{K-1} g_1 \sum_{g_2=0}^{K-1} P_{\Delta,\alpha}(g_1, g_2) & \sigma_1 &= \sqrt{\sum_{g_1=0}^{K-1} (g_1 - \mu_1)^2 \sum_{g_2=0}^{K-1} P_{\Delta,\alpha}(g_1, g_2)} \\ \mu_2 &= \sum_{g_2=0}^{K-1} g_2 \sum_{g_1=0}^{K-1} P_{\Delta,\alpha}(g_1, g_2) & \sigma_2 &= \sqrt{\sum_{g_2=0}^{K-1} (g_2 - \mu_2)^2 \sum_{g_1=0}^{K-1} P_{\Delta,\alpha}(g_1, g_2)} \end{aligned}$$

$$\text{inverse difference moment} \quad \sum_{g_1=0}^{K-1} \sum_{g_2=0}^{K-1} \frac{P_{\Delta,\alpha}(g_1, g_2)}{1 + (g_1 - g_2)^2}$$

$$\text{Unähnlichkeit} \quad \sum_{g_1=0}^{K-1} \sum_{g_2=0}^{K-1} P_{\Delta,\alpha}(g_1, g_2) \cdot |g_1 - g_2|$$

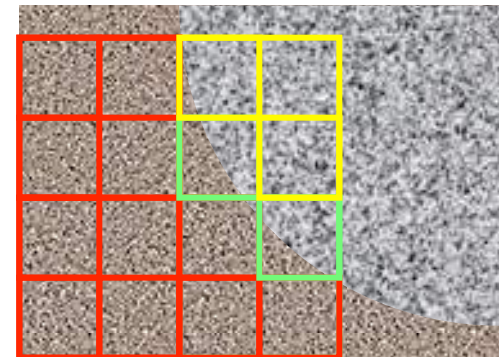
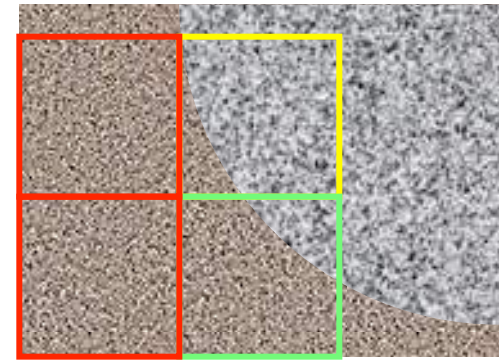
Besonderheiten Texturmerkmal

- Berechnung der Texturmerkmale auf der Basis willkürlicher Regionen
- Segmentierung
- Berechnung der Zuverlässigkeit
- Erneute Segmentierung



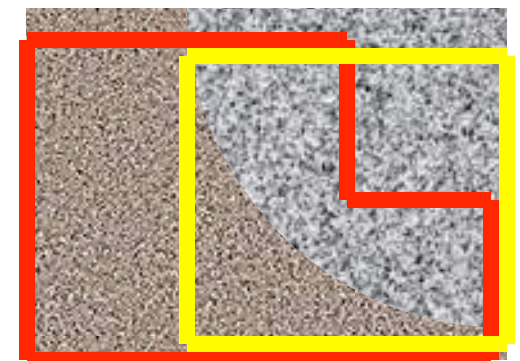
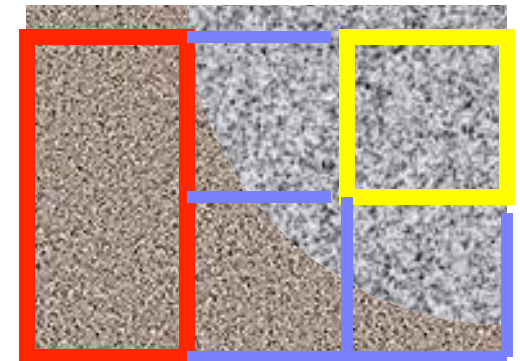
Zuverlässigkeit Texturmerkmal

- Persistenz:
- Falls eine Region in Teile zerlegt wird und das Merkmal in den Teilregionen berechnet werden kann, dann sollte das Texturmerkmal in der Teilregion dieselben Werte annehmen, wie in der Ursprungsregion
- Achtung: In der Regel ist das berechnete Maß eine Schätzung, deren Güte von der Größe der Region abhängt



Strategie: Erneute Segmentierung

- Texturmerkmale der Gesamtsegmente erneut berechnen
- Segmente mit hoher Unzuverlässigkeit
 - allen benachbarten zuverlässigen Segmenten zuordnen



Die beiden Extremfälle

Naive Textursegmentierung

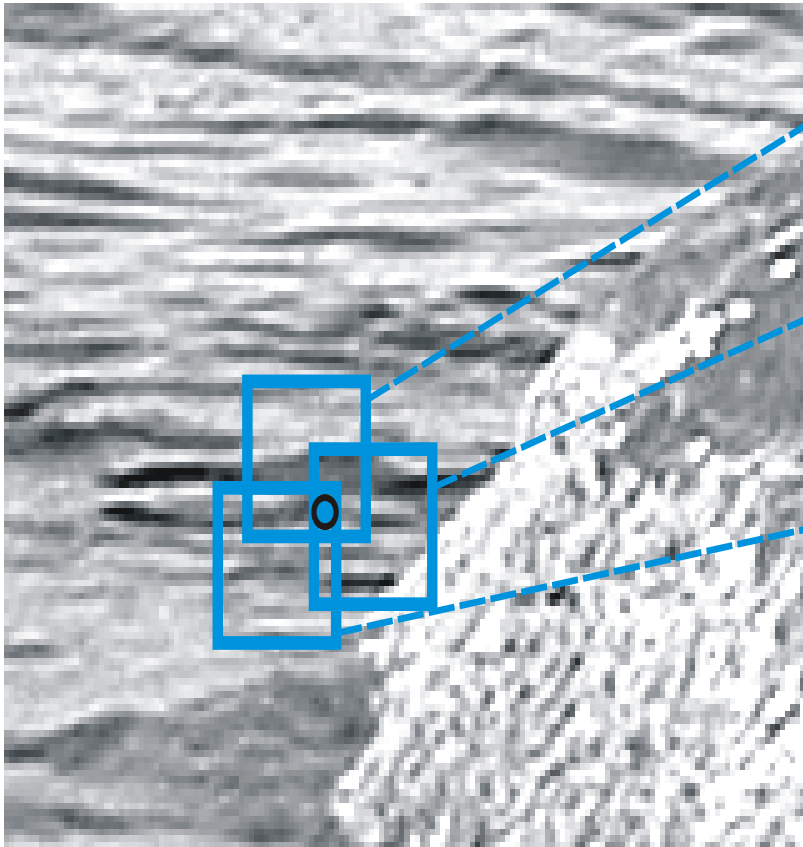
Modell:

- Skalierungsstufe der Textur, Blockgröße, sowie geeignetes Texturmaß seien bekannt

Algorithmenskizze:

- Berechne für überlappende Blöcke das Texturmaß
- Führe eine homogenitätsbasierte Segmentierung auf den Texturmaßen durch (z.B. durch Split-and-Merge)
- Ein Pixel erhält von jedem Block, der es überdeckt eine Stimme für ein Label
 - inhomogene Blöcke an Texturgrenzen
- Nachverarbeitung wie bei Histogrammsegmentierung

Textursegmentierung (naiv)



2.37
1.22

2.82
2.14

2.09
0.87

Beispiel:

Jedes Pixel wird von mehreren Blöcken überdeckt

Sind die Texturen unterschiedlich, dann erhalten diese Blöcke unterschiedliche Label

Summe der Amplituden mit niedriger und mit hoher Frequenz

Kantenbasierte Segmentierung

- Edge Linking und Canny Edge Operator
- Nulldurchgänge
- Wasserscheidentransformation

Segmentierung durch Kantenerkennung

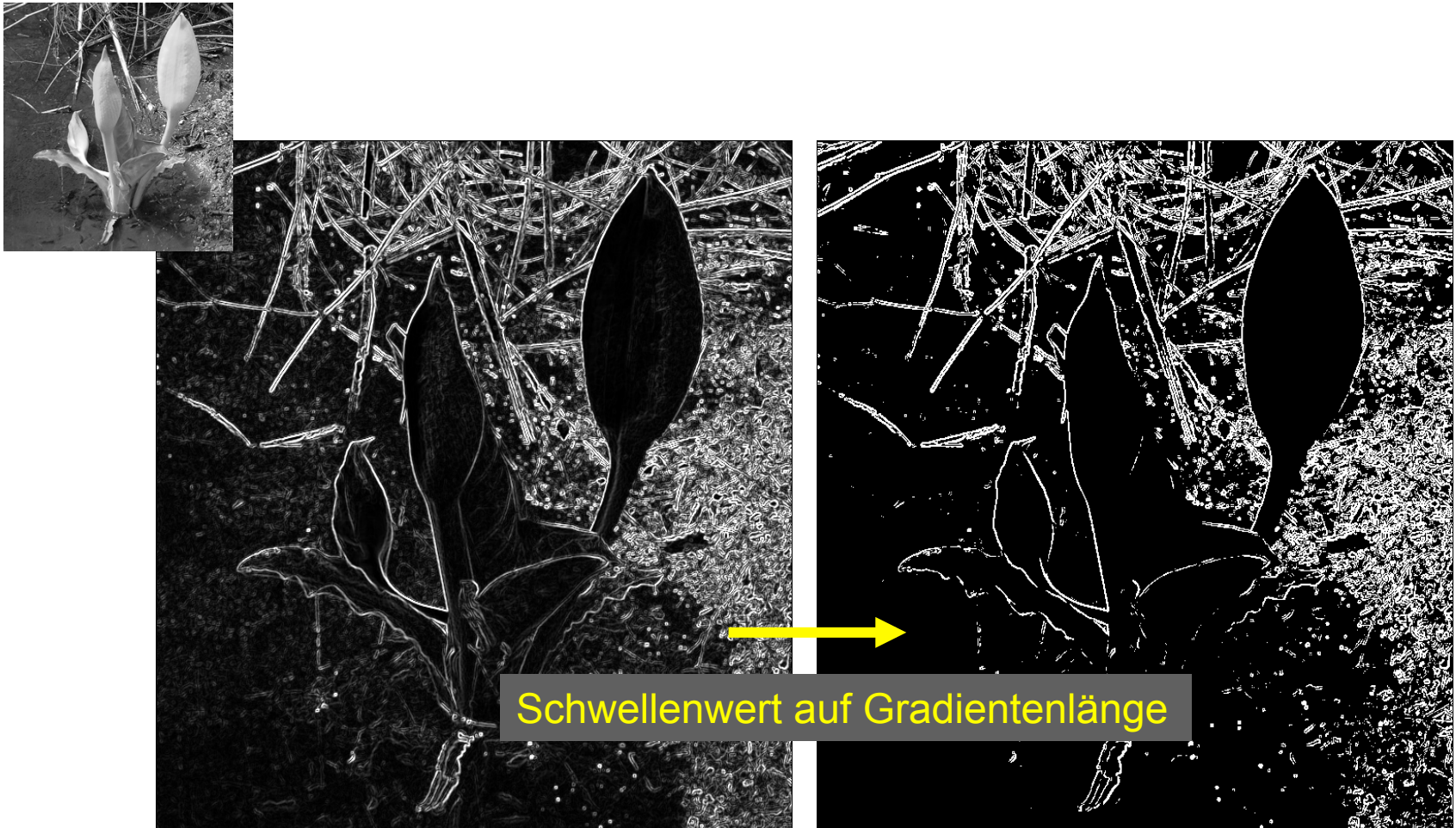


Vorteil: Kantenmerkmale sind robuster gegenüber Shading

Einfache Methode:

- Gradientenberechnung
- Kantenpunktdetektion (z.B. Schwelle auf Gradientenlänge)
- Region Labeling basierend auf Kantenpunkten

Segmentierung durch Kantenerkennung



Problem: Kantenpunkte sind nicht Ränder zusammenhängender Gebiete

WASSERSCHEIDEN- TRANSFORMATION

Wasserscheidentransformation

- Wasserscheide: Grenzen der Entwässerung in unterschiedliche Senken
 - Beispiel: Wasserscheide zwischen Nordsee und Mittelmeer entlang des Kamms der Berner Alpen
- Wasserscheide in der Segmentierung: Generiere ein Höhenprofil so, dass die Wasserscheiden die gesuchten Segmentgrenzen sind



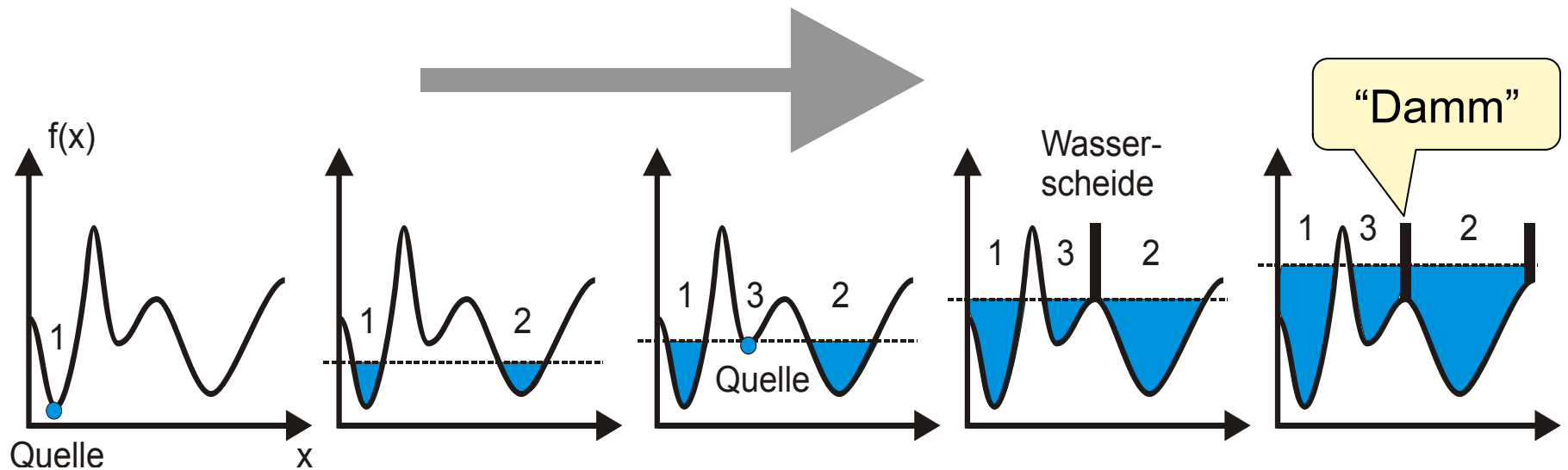
Wasserscheiden

- Wasserscheiden sollen an Kanten verlaufen
- Wasserscheiden sind „Gebirgskämme“
- Wasserscheiden sind die Längen der Grauwertgradienten



Wasserscheidentransformation

- **Berechnung:** Es fällt „Regen“ auf jedes Pixel. Gradienten entschieden, wohin der Regen entwässert wird
- **Flutung:** Die „Welt“ wird von den Senken her geflutet. Wenn Wasser aus zwei Senken zusammen fließt, wird ein Damm gebaut bzw. entsteht eine Wasserscheide



Animation von Serge Beucher

- Partitionierung des Bildes durch Flutung von den Minima aus bei Vermeidung des Zusammenfließens verschiedener Quellen
 - zwei Mengen:
Niederschlagsgebiete und Wasserscheidenlinien
- Transformation auf Gradientenbild:
Niederschlagsgebiete entsprechen homogenen Regionen



Copyright © 2010, Serge Beucher

<http://cmm.ensmp.fr/~beucher/wtshed.html>

Flutungsalgorithmus (Skizze)

Jedes bei Höhe h_{aktuell} neu überflutete Pixel (m_f, n_f) ist

- **in Isolation:**

Es nicht zu anderen überfluteten Pixeln der Höhen $h < h_{\text{aktuell}}$ benachbart.

Isolierte Pixel sind Kerne von neuen Segmenten.

- **Erweiterung:**

Es ist zu anderen überfluteten Pixeln der Höhen $h < h_{\text{aktuell}}$ mit gleichem Label benachbart.

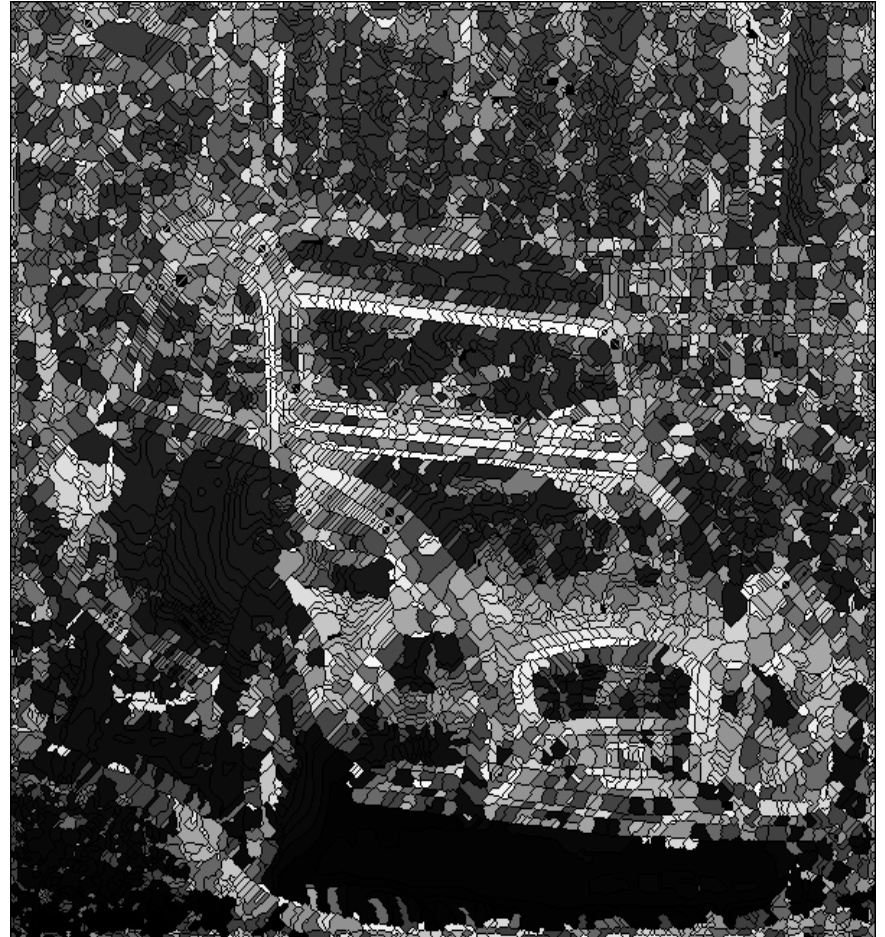
Das Pixel wird dem Segment mit diesem Label zugeordnet.

- **Wasserscheide:**

Es ist zu überfluteten Pixeln von mindestens zwei Regionen benachbart.

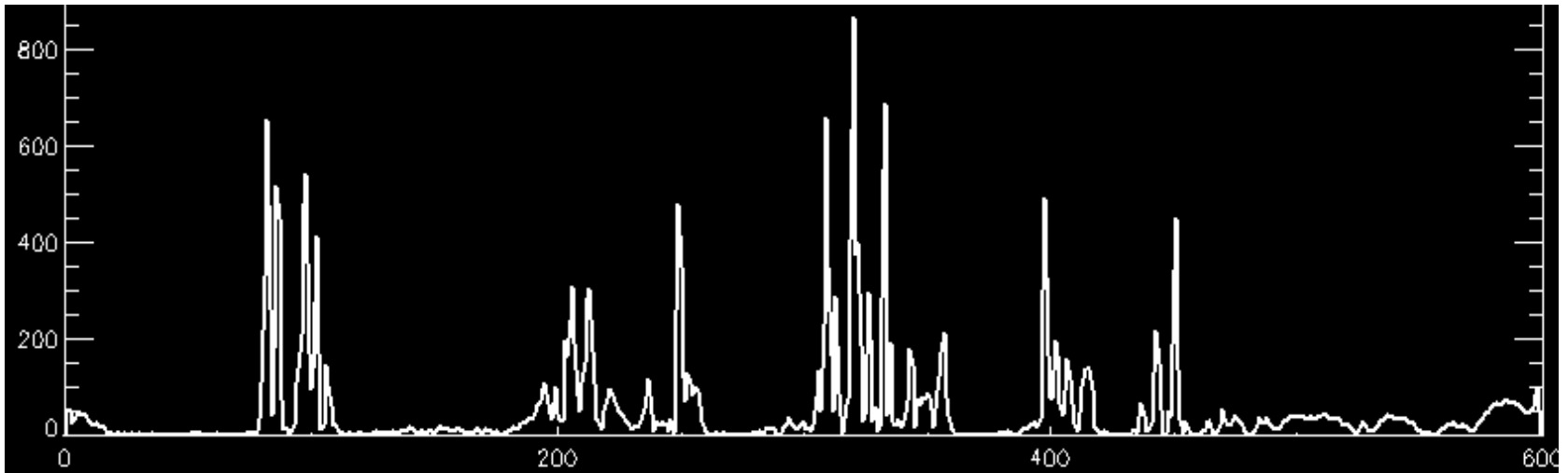
Dem Pixel wird das Label „Wasserscheide“ zugeordnet.

Resultat der WST



Problem Übersegmentierung

- Für die WST ist jedes lokale Minimum eine Senke
- Die meisten Senken werden durch Rauschen verursacht
- Senken durch Rauschen sind weniger tief als die von Kanten

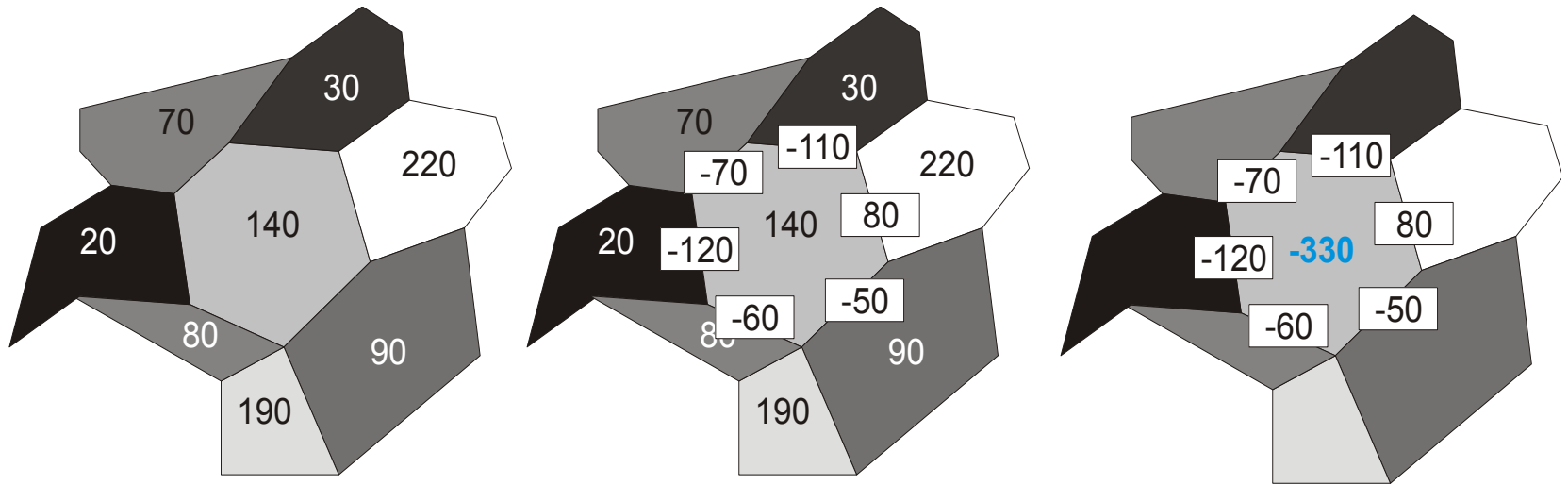


Hierarchische WST

Multiskalenstrategie:

- Wasserscheidentransformation auf dem WST-Resultat
- Jede Region erhält ihren durchschnittlichen Grauwert als Funktionswert
- Die erste WST wird hauptsächlich durch Rauschen verursachte Senken finden
- „Wahre“ Senken sollten über mehrere Stufen der Hierarchie erhalten bleiben

Gradienten für die hierarchische WST



- Differenz zu jeder benachbarten Regionen berechnen
- Gradientenlänge berechnen als durchschnittliche Differenz zu allen Regionen (evtl. mit Fläche gewichten)
- Problem: Kanten werden breiter

Verwendung von Markern bei der WST

- Marker = Region im Bild
 - interne Marker markieren Vordergrundobjekte
 - externe Marker markieren den Hintergrund
- Strategien zur Erzeugung von Markern
 - interaktives Setzen der Marker
 - Bild zur Vorverarbeitung glätten Marker auf geglättetem Bild
 - Textur
- angepasster Algorithmus
 - isoliertes Pixel: Label „unbekannt“
 - Pixel erweitert Region: Label zuordnen
 - Pixel verbindet zwei Regionen: falls eine „unbekannt“ und andere endgültiges Label, dann Label auch für die andere Region

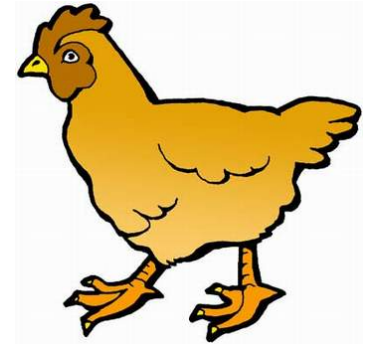
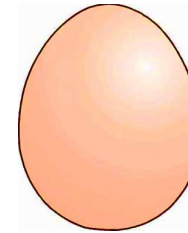
MODELLBASIERTE SEGMENTIERUNG

Modellbasierte Segmentierung

- Vollständige Suche
 - Template Matching
 - Hough Transformation
- Interaktive Suche
 - Region Growing
 - Kantenverfolgung
 - Markerbasierte WST

Modellbasierte Segmentierung

- Segmentierung: Generierung von Symbolen (Bedeutungsträgern) aus Pixeln
- Modell: Erwartete Bedeutung
- ▶ Henne-Ei-Problem??

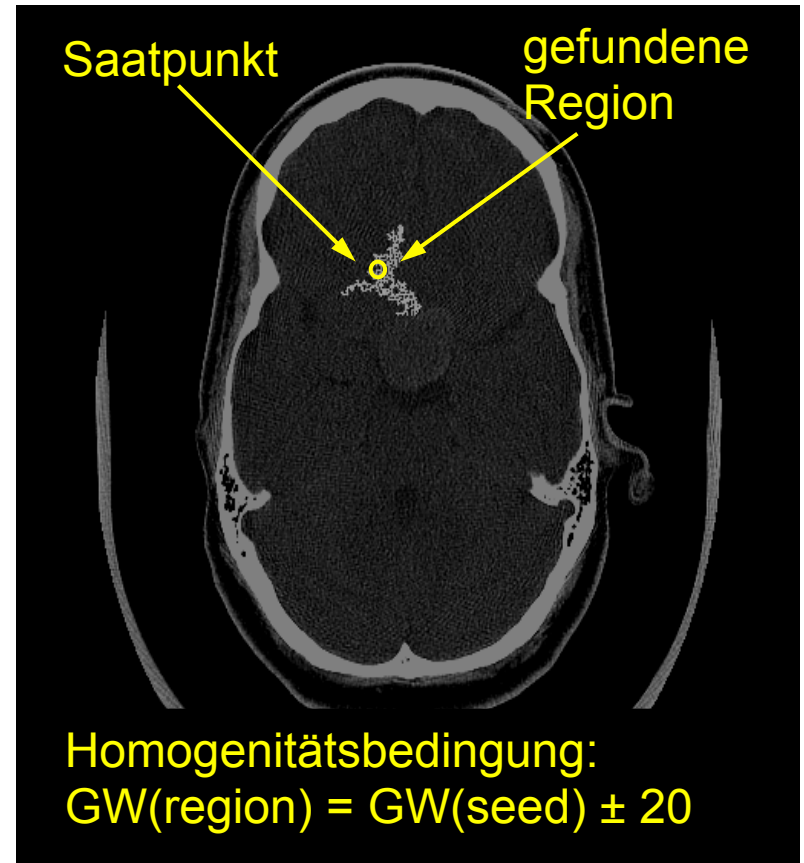


Modellbasierte Segmentierung: Mix aus Segmentierung und Analyse
Mit Vorwissen über Objekt wird nach Instanzen gesucht

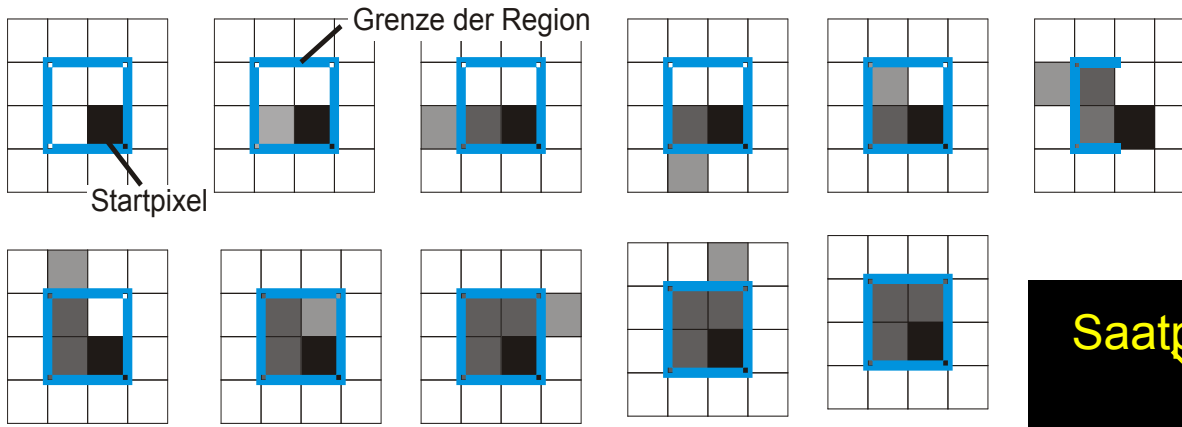
- Interaktive Suche: Benutzer gibt Vorwissen interaktiv ein
- Vollständige Suche: Instanzen eines Modells mit wenigen Parametern werden gesucht
- Iterative Suche: Instanzen eines Modells mit vielen Parametern werden gesucht

Region Growing

- = Flood Fill auf Grauwertbild für (vorgegebenen) Saatpunkt
- Homogenitätsbedingungen
 - Grauwertbereich
 - Grauwertschwankung
- Annahmen und Ziel
 - Gebiet ist intern von größerer Homogenität als an den Grenzen
 - Selektion eines einzigen Gebiets

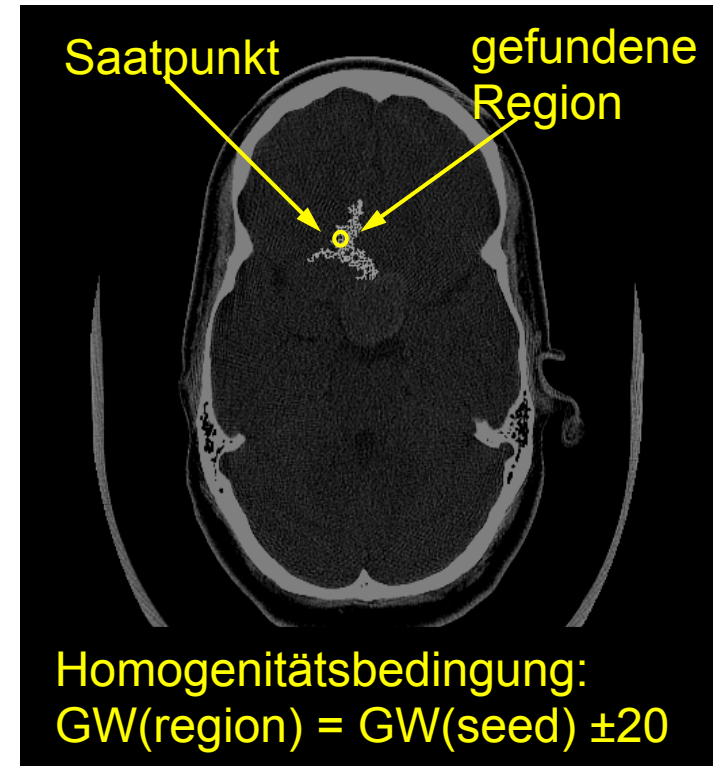


Region Growing

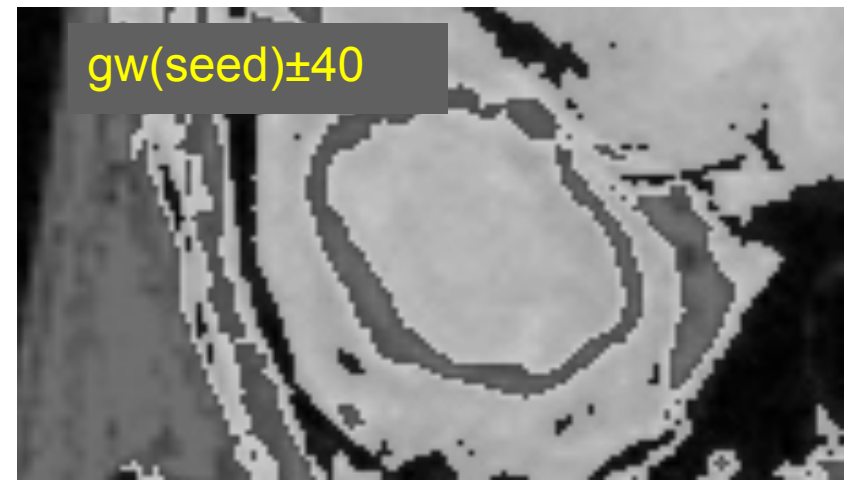
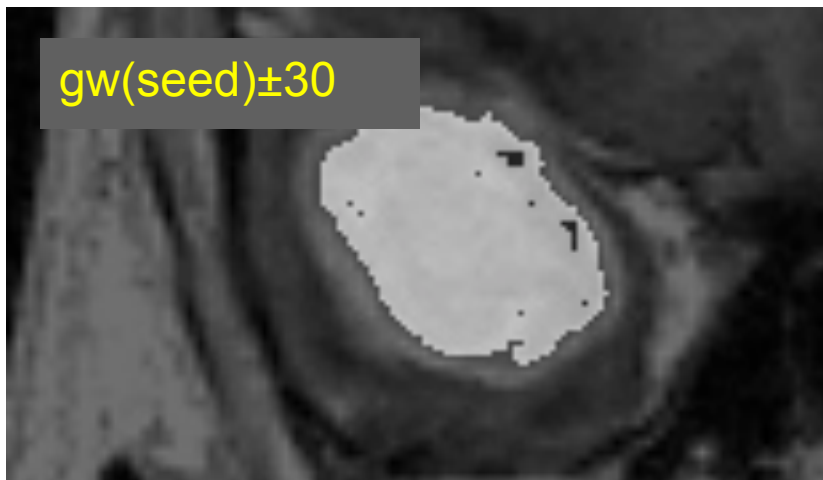
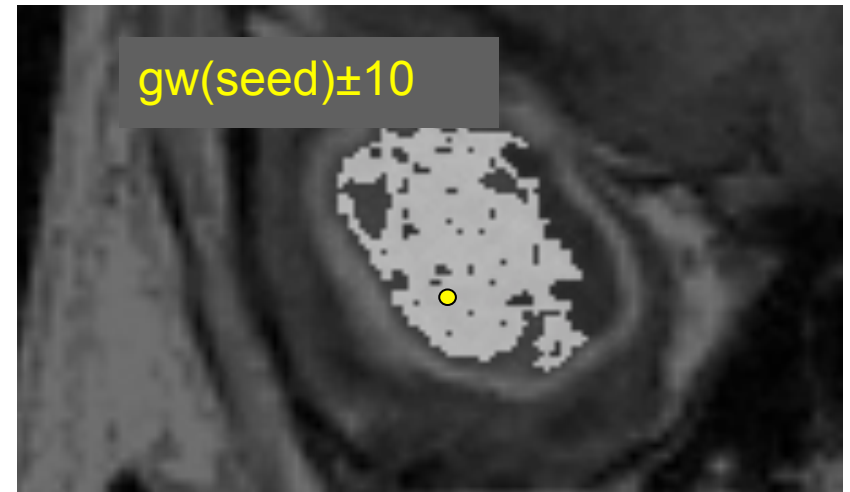
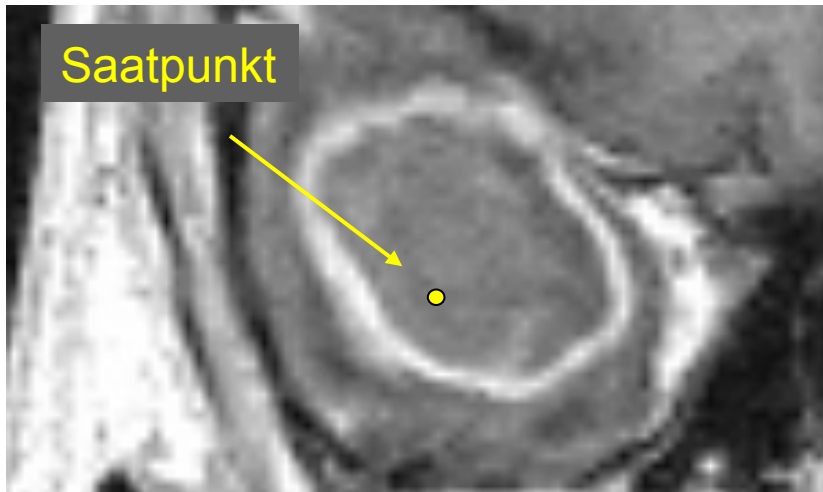


Probleme:

- „Auslaufen“ der Regionen
- zu kleine Regionen
- Rauschanfälligkeit
- Shading im Bild



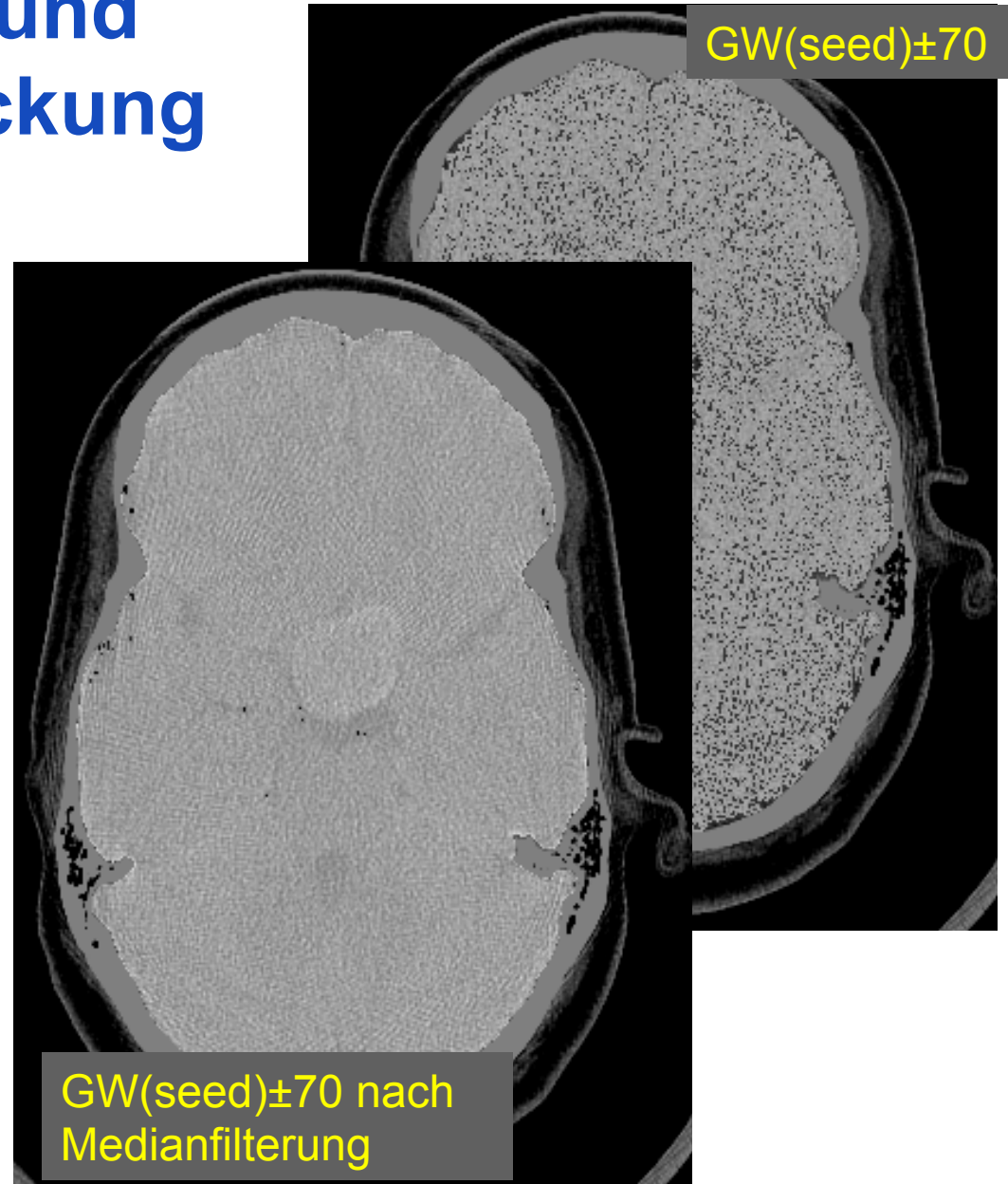
Auslaufen von Regionen



Region Growing und Rauschunterdrückung

Rauschen führt zu Anfälligkeit der Methode

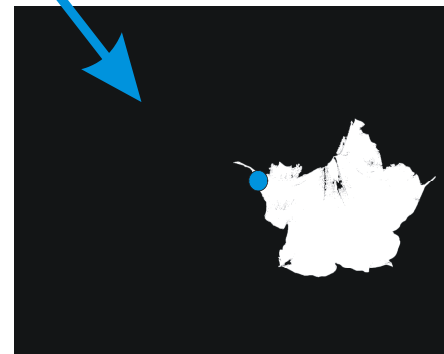
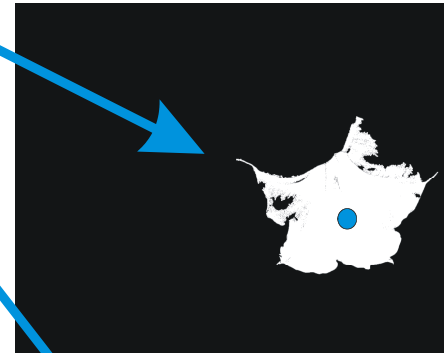
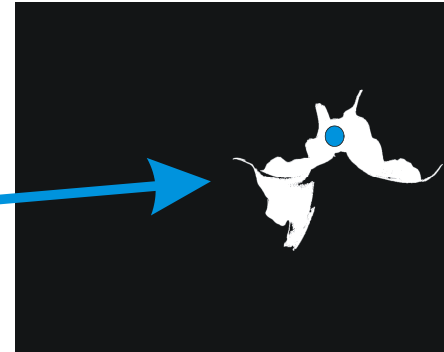
→ vorherige Rauschunterdrückung oder Nachverarbeitung



Mehrfaches Region Growing



original



Gezielte Kantensuche



Resultat der Kantenfilter:

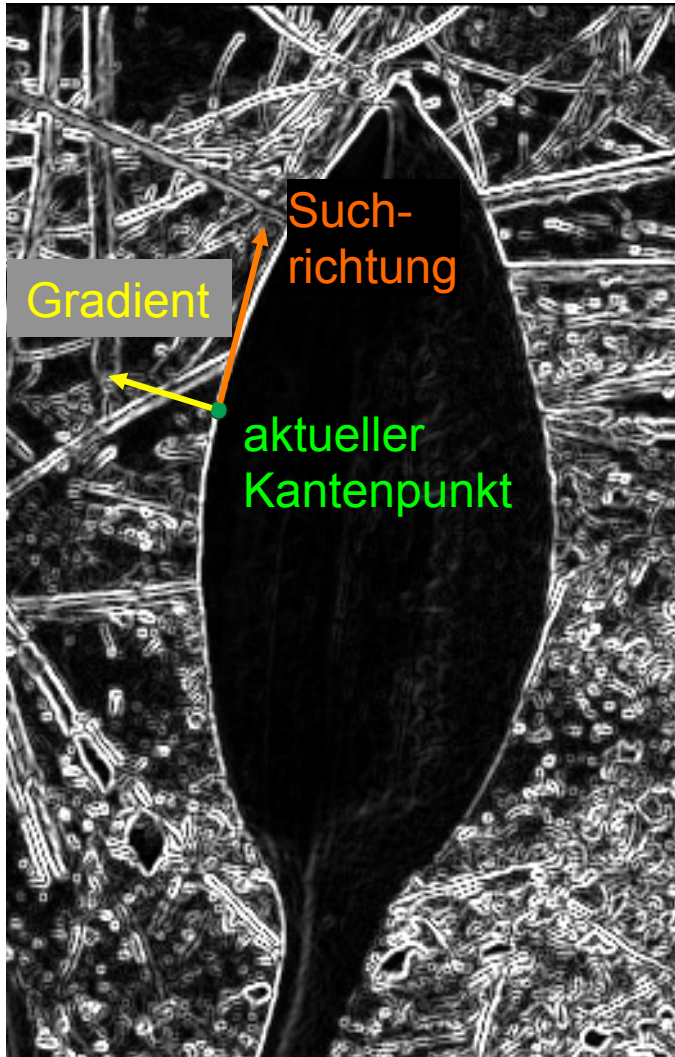
Liste von Kantenpunktkandidaten

- nicht alle Kandidaten gehören zur gesuchten Regionengrenze
- die Regionengrenze kann Lücken aufweisen

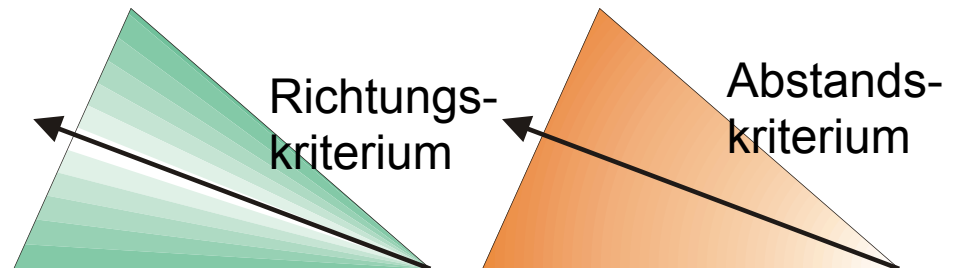
Strategien mit Nutzerinteraktion

- Kantenverfolgung
- Optimale Kantenzüge
- Hough Transformation

Kantenverfolgung



- Anfangspunkt bestimmen
- suche senkrecht zur aktuellen Gradientenrichtung
- Kantenpunkt ist gefunden, wenn
 - in hinreichend **kurzer Entfernung**,
 - mit hinreichend **geringer Richtungsabweichung**
 - ein hinreichend **großer Gradient** existiert



Optimale Kantenzüge (Graphensuche)

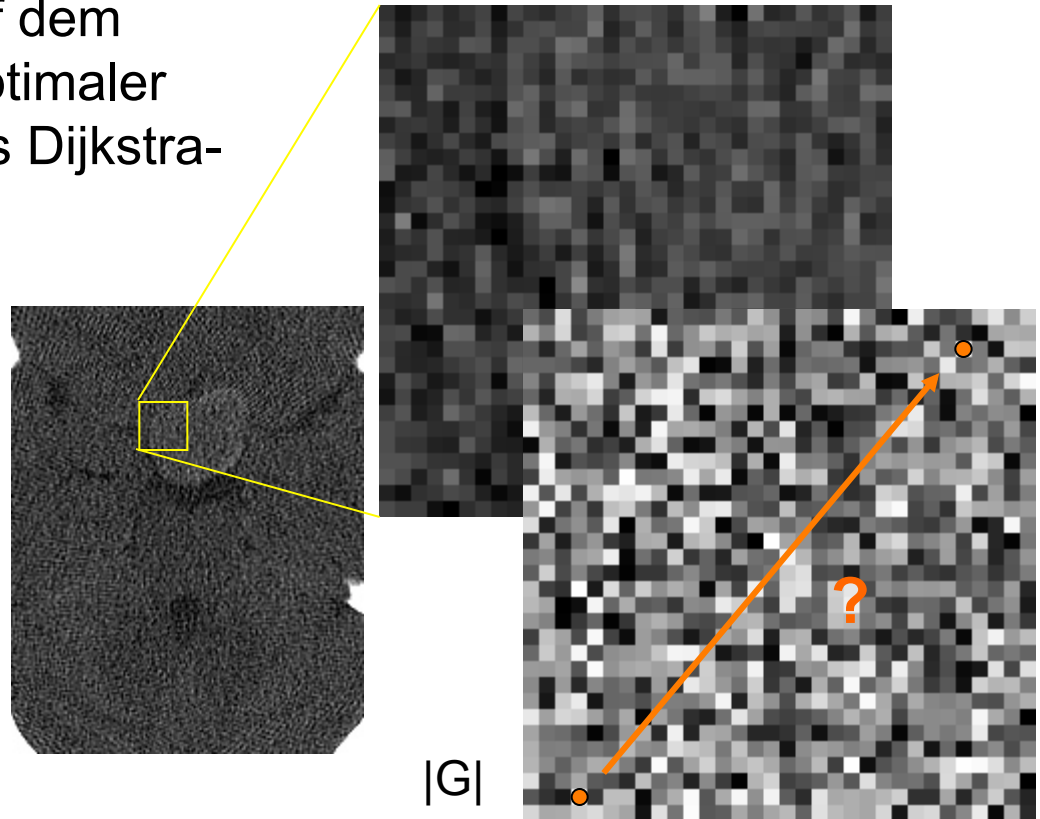
Das Resultat des Gradientenoperators wird als Graph aufgefasst, auf dem zwischen zwei Punkten ein optimaler Pfad gesucht wird (z.B. mittels Dijkstra-Algorithmus).

Vorteil:

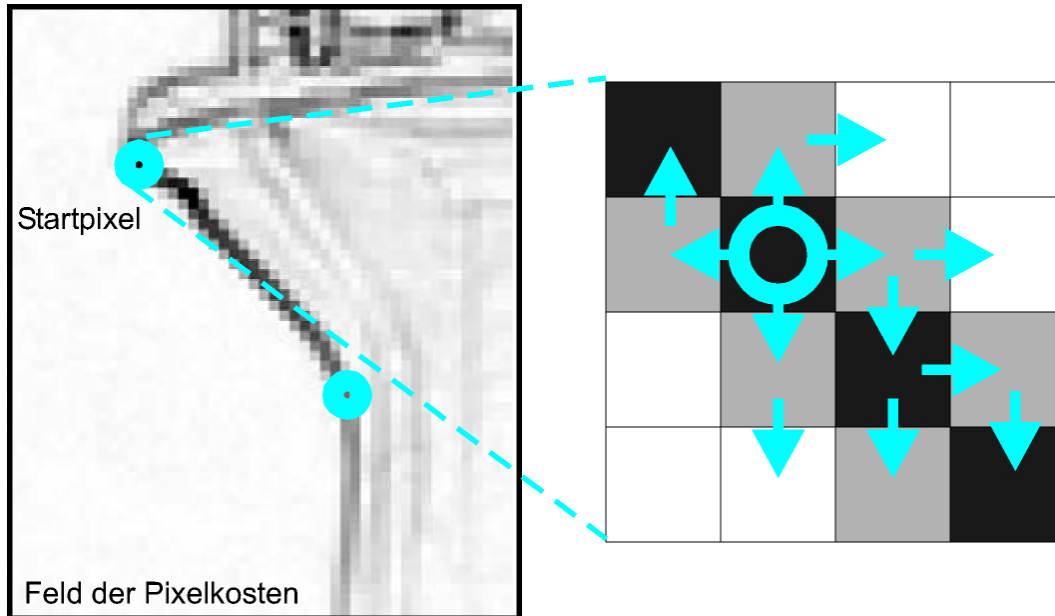
Globale Aspekte des Kantenzugs können eingebracht werden.
(z.B. Glattheitsbedingungen)

Nachteil:

Aufwand ist größer als bei
Kantenverfolgung.



Optimale Kantenzüge (Graphensuche)



Optimalitätskriterien:

- Maximierung der (durchschnittlichen) Gradientenlänge
- Minimierung der Pfadlänge
- Minimierung der Richtungsänderungen
- Minimierung der Grauwertänderungen

Resultate



Startpunkt

